

# **PRORACUNI STABILNOSTI STIJENSKOG POKOSA**

---

## **Klinasti lom**

Investitor :

Građevina :

Broj projekta :

Zajednička oznaka :

### **SADRŽAJ**

*Profil u stac. 1 + 720, lijevo : pokos :  $\alpha = 330^\circ$   $\psi = 84^\circ$  H = 11.37 m*

*Profil u stac. 1 + 735, desno : pokos :  $\alpha = 145^\circ$   $\psi = 84^\circ$  H = 18.10 m*

Rijeka, listopad 2015.

[rkuzelicki@rijekaprojekt.hr](mailto:rkuzelicki@rijekaprojekt.hr)

## Kontrola formiranja kлина i vlačne pukotine na pokosu

(oblik kлина tetraedar, proračun za diskontinuitete bez ispune)

**Profil u stac. 1720, lijevo**

Profil = 1720

### Uvod

Koriste se podaci iz :

Za potrebe proračuna stabilnosti stijenskog pokosa na lom po diskontinuitetima (klinovi) koriste se podaci o orijentaciji diskontinuiteta na inženjersko geološkom bloku Va (str. 28) :

Sustav diskontinuiteta	Smjer ( $\alpha$ ) / nagib ( $\psi$ )
1 (SS)	20 - 30 / 25 - 40
2 (II b)	315 / 80
3 (L b)	215 - 240 / 65

Odabrani mjerodavni diskontinuiteti za proracun (sa vecim kutem nagiba kao mjerodavnim) :

Sustav diskontinuiteta	Smjer ( $\alpha$ ) / nagib ( $\psi$ )
A : (SS)	(1) 20 / 40 i (2) 30 / 40
B : (II b)	(3) 315 / 80
C : (L b)	(4) 215 / 65 i (5) 240 / 65

Za kontrolu formiranja kлина na pokosu koriste se slijedeci parovi diskontinuiteta ( $\alpha / \psi$ ) :

rav1	rav2	rav1	rav2	rav1	rav2
(1 - 3) : 20 / 40, 315 / 80	(2 - 3) : 30 / 40, 315 / 80	(3 - 4) : 315 / 80, 215 / 65			
(1 - 4) : 20 / 40, 215 / 65	(2 - 4) : 30 / 40, 215 / 65	(3 - 5) : 315 / 80, 240 / 65			
(1 - 5) : 20 / 40, 240 / 65	(2 - 5) : 30 / 40, 240 / 65	(4 - 5) : 215 / 65, 240 / 65			

Kontrola se provodi u mjerodavnom profilu :

**Profil u stac. 1 + 720, lijevo :** pokos :  $\alpha = 331^\circ$   $\psi = 84^\circ$   $H = 11.37$  m

# Kinematska analiza stabilnosti stijenskog pokosa

Profil = 1720

## Sustavi diskontinuiteta i skupovi polova

Sustav  
diskontinuiteta Smjer ( $\alpha$ ) / nagib ( $\psi$ )

1 (SS)      20 - 30 / 25 - 40

2 (II b)      315 / 80

3 (L b)      215 - 240 / 65

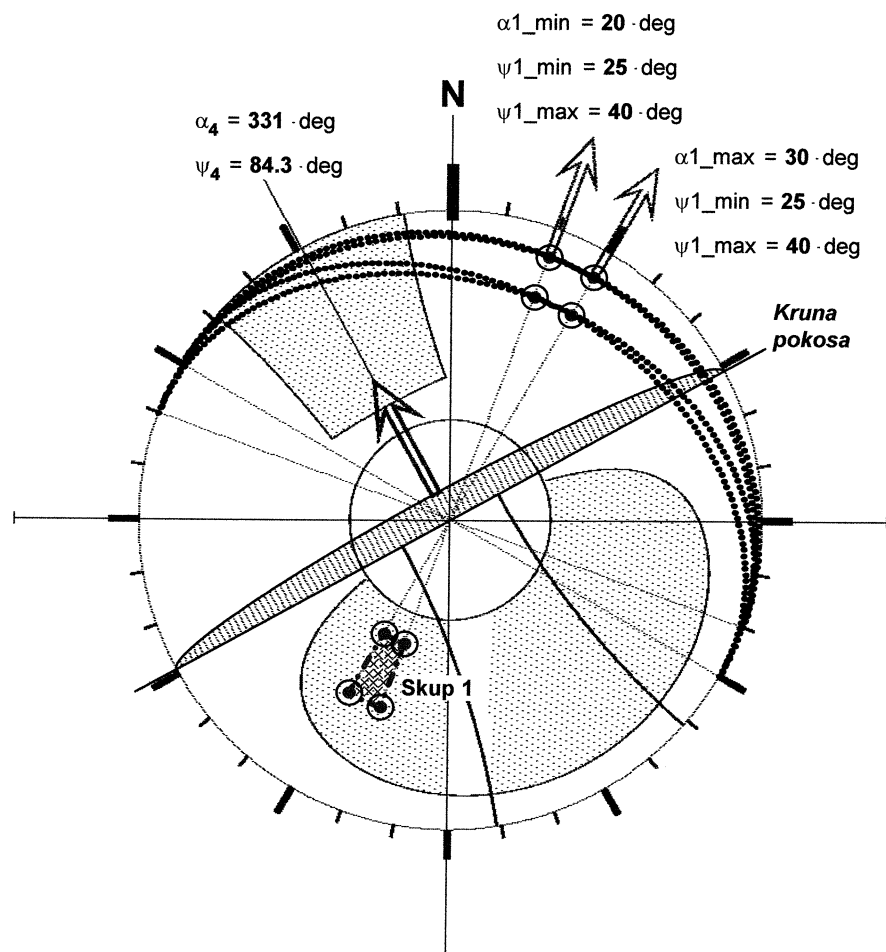
### Sustav diskontinuiteta 1 (SS) - skup polova 1

Smjer ( $\alpha$ ) / nagib ( $\psi$ ) :  $\alpha = 20 - 30$      $\psi = 25 - 40$

Smjerovi diskontinuiteta :  $\alpha_{1\_min} = 20 \cdot \text{deg}$      $\alpha_{1\_max} = 30 \cdot \text{deg}$

Nagibi diskontinuiteta :  $\psi_{1\_min} = 25 \cdot \text{deg}$      $\psi_{1\_max} = 40 \cdot \text{deg}$

Lice pokosa :  $\alpha_4 = 331 \cdot \text{deg}$      $\psi_4 = 84.3 \cdot \text{deg}$



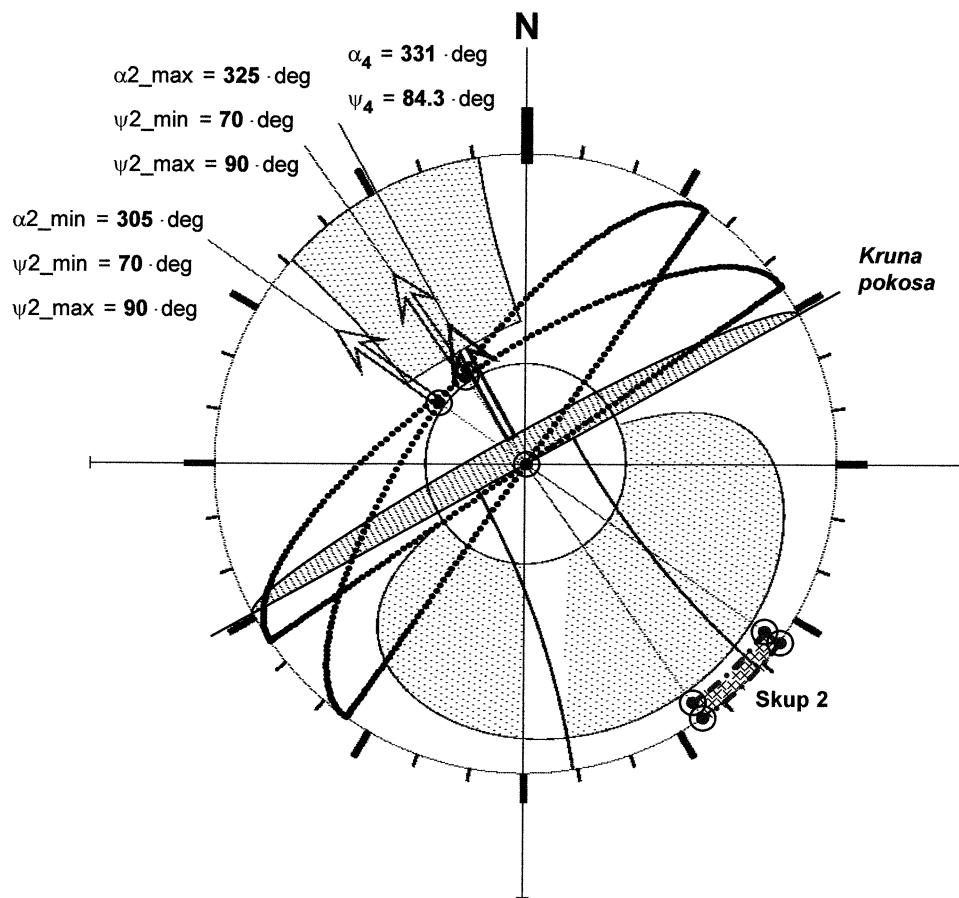
## Sustav diskontinuiteta 2 (II b) - skup polova 2

Profil = 1720

Smjer ( $\alpha$ ) / nagib ( $\psi$ ) :  $\alpha = 315$   $\psi = 80$

Smjerovi diskontinuiteta :  $\alpha_2_{\min} = 305 \cdot \text{deg}$   $\alpha_2_{\max} = 325 \cdot \text{deg}$

Nagibi diskontinuiteta :  $\psi_2_{\min} = 70 \cdot \text{deg}$   $\psi_2_{\max} = 90 \cdot \text{deg}$



*Uvjeti za PLANARNI LOM :*

*Uvjeti za KLINASTI LOM :*

*Uvjeti za ODVALNI LOM :*

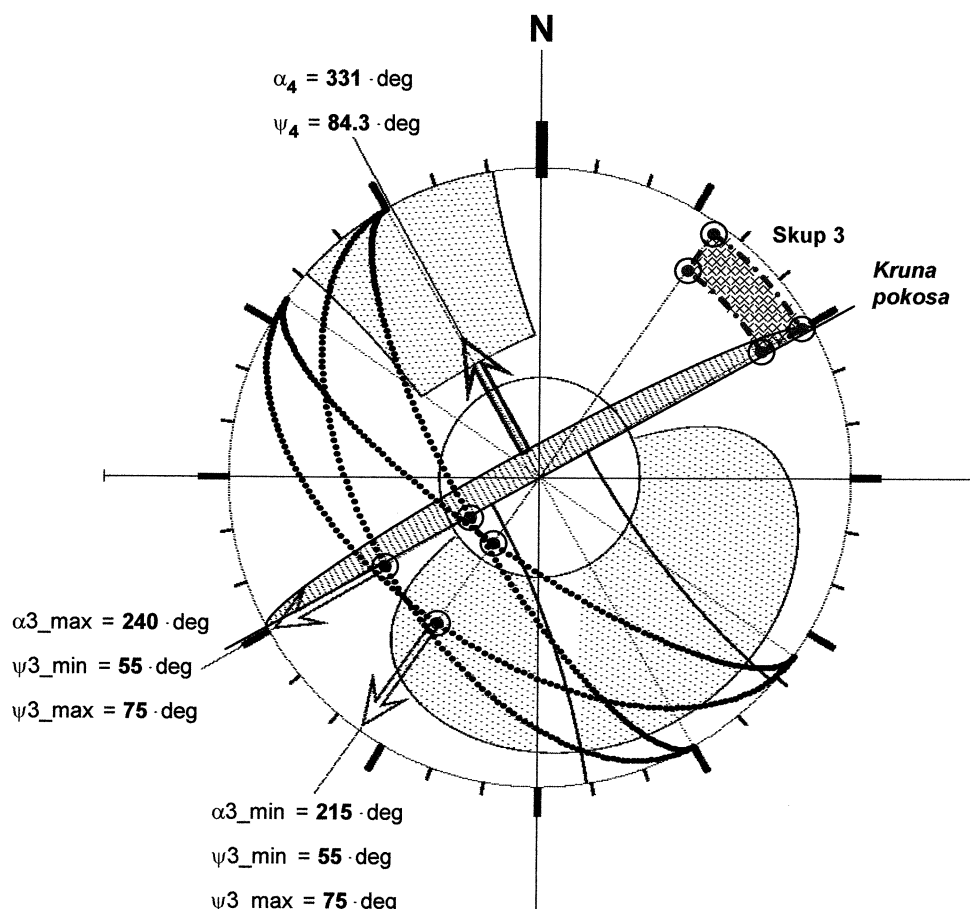
## Sustav diskontinuiteta 3 (L b) - skup polova 3

Profil = 1720

Smjer ( $\alpha$ ) / nagib ( $\psi$ ) :  $\alpha = 215 - 240$        $\psi = 65$

Smjerovi diskontinuiteta :  $\alpha_3_{\min} = 215 \cdot \text{deg}$      $\alpha_3_{\max} = 240 \cdot \text{deg}$

Nagibi diskontinuiteta :  $\psi_3_{\min} = 55 \cdot \text{deg}$      $\psi_3_{\max} = 75 \cdot \text{deg}$



*Uvjeti za PLANARNI LOM :*

*Uvjeti za KLINASTI LOM :*

*Uvjeti za ODVALNI LOM :*

## Kontrola tipova loma

Profil = 1720

- a) Planarni lom
- b) Klinasti lom
- c) Odvalni lom

### UVJETI ZA NASTANAK PLANARNOG LOMA

1.  $\alpha p = \alpha f \text{ (+/-) } 20^\circ$
2.  $\psi p < \psi f$
3.  $\psi p > \phi p$

---

$\alpha f$  - Smjer lica pokosa

$\psi f$  - Nagib lica pokosa

$\alpha p$  - Smjer ravnine diskontinuiteta

$\psi p$  - Nagib ravnine diskontinuiteta

$\phi p$  - Kut trenja ravnine diskontinuiteta

### UVJETI ZA NASTANAK KLINASTOG LOMA

1.  $\psi i = \alpha f \text{ (+/-) (to daylight slope face)}$
2.  $\psi i < \psi f$
3.  $\phi < \psi i$

---

$\alpha a$  - Smjer ravnine (a)

$\alpha f$  - Smjer lica pokosa

$\psi a$  - Nagib ravnine (a)

$\psi f$  - Nagib lica pokosa

$\alpha b$  - Smjer ravnine (b)

$\alpha i$  - Smjer (azimut) presjeka (a) i (b)

$\psi b$  - Nagib ravnine (b)

$\psi i$  - Nagib presjeka (a) i (b)

$\phi$  - Kut trenja

### UVJETI ZA NASTANAK ODVALNOG LOMA

1.  $\psi p = (\alpha f \text{ +/- } 180^\circ) \text{ +/- } 20^\circ$
2.  $(90^\circ - \psi p) \leq (\psi f - \phi p)$

---

$\psi p$  - Nagib ravnine diskontinuiteta

$\alpha f$  - Smjer lica pokosa

$\phi p$  - Kut trenja u ravnini diskontinuiteta

$\psi f$  - Nagib lica pokosa

$\psi b$  - Nagib baze

$\alpha p$  - Smjer ravnine diskontinuiteta

$\phi b$  - Kut trenja baze

$\Delta x$  - Širina stupca

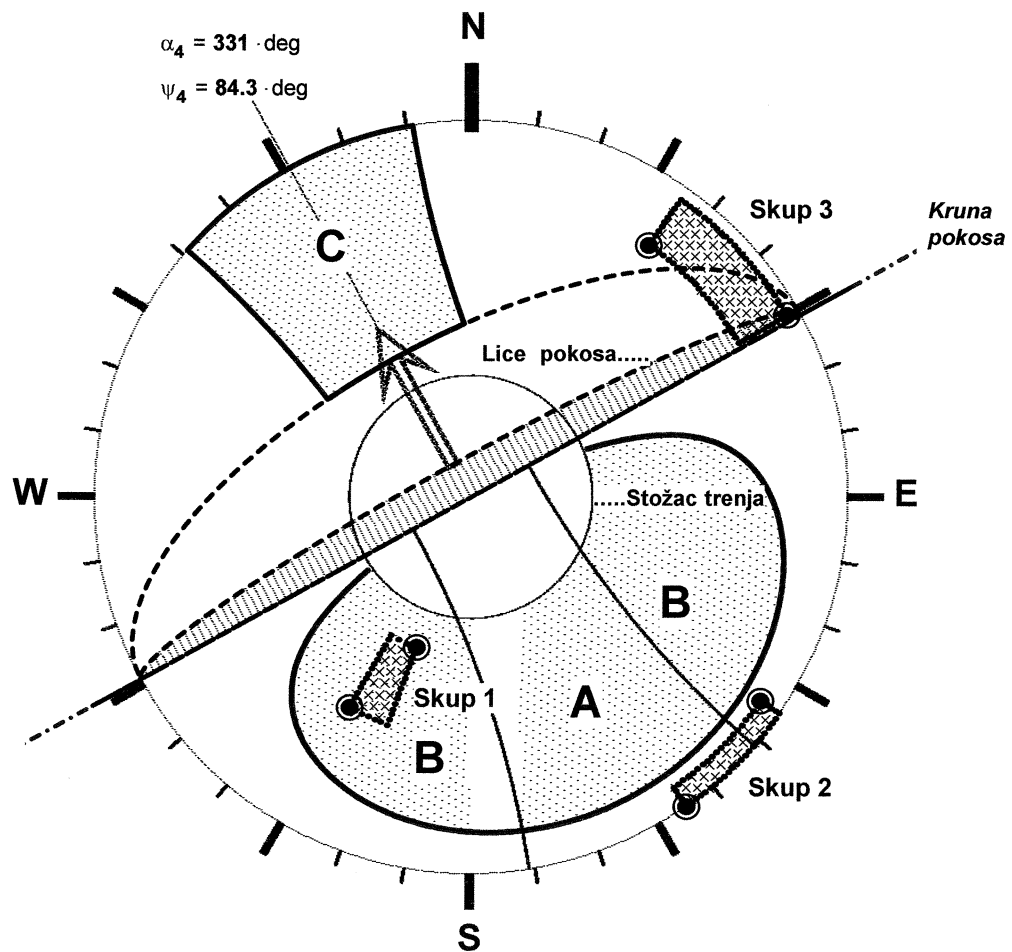
## Anvelope polova i zone oblika loma

Profil = 1720

Zona A) Planarni lom, Zona B) Klinasti lom, Zona C) Odvalni lom

Ravnina 4 (lice pokosa) :  $\alpha_4 = 331 \cdot \text{deg}$   $\psi_4 = 84.3 \cdot \text{deg}$

Ravnine diskontinuiteta : Diskont =  $\begin{pmatrix} 1 & 2 & 3 & 4 & 5 & 6 \\ 20 & 30 & 305 & 325 & 215 & 240 \\ 25 & 40 & 70 & 90 & 55 & 75 \end{pmatrix} \cdot \text{deg}$   $\alpha$   
 $\psi$



## Sustavi diskontinuiteta i formiranje oblika loma

0 - ne utječe na formiranje oblika loma

1 - utječe na formiranje oblika loma

(A) Planarni lom (B) Klinasti lom (C) Odvalni lom

Sustav diskontinuiteta 1 - skup polova 1 :	0	1	0
Sustav diskontinuiteta 2 - skup polova 2 :	0	0	0
Sustav diskontinuiteta 3 - skup polova 3 :	0	0	0

## Kontrola formiranja klina i vlačne pukotine na pokosu

Pokos u profilu, stac. km 1720.00, Klin = 1720.1

Ravnina 3 (površina terena) :  $\alpha_3 = 331 \cdot \text{deg}$   $\psi_3 = 15 \cdot \text{deg}$

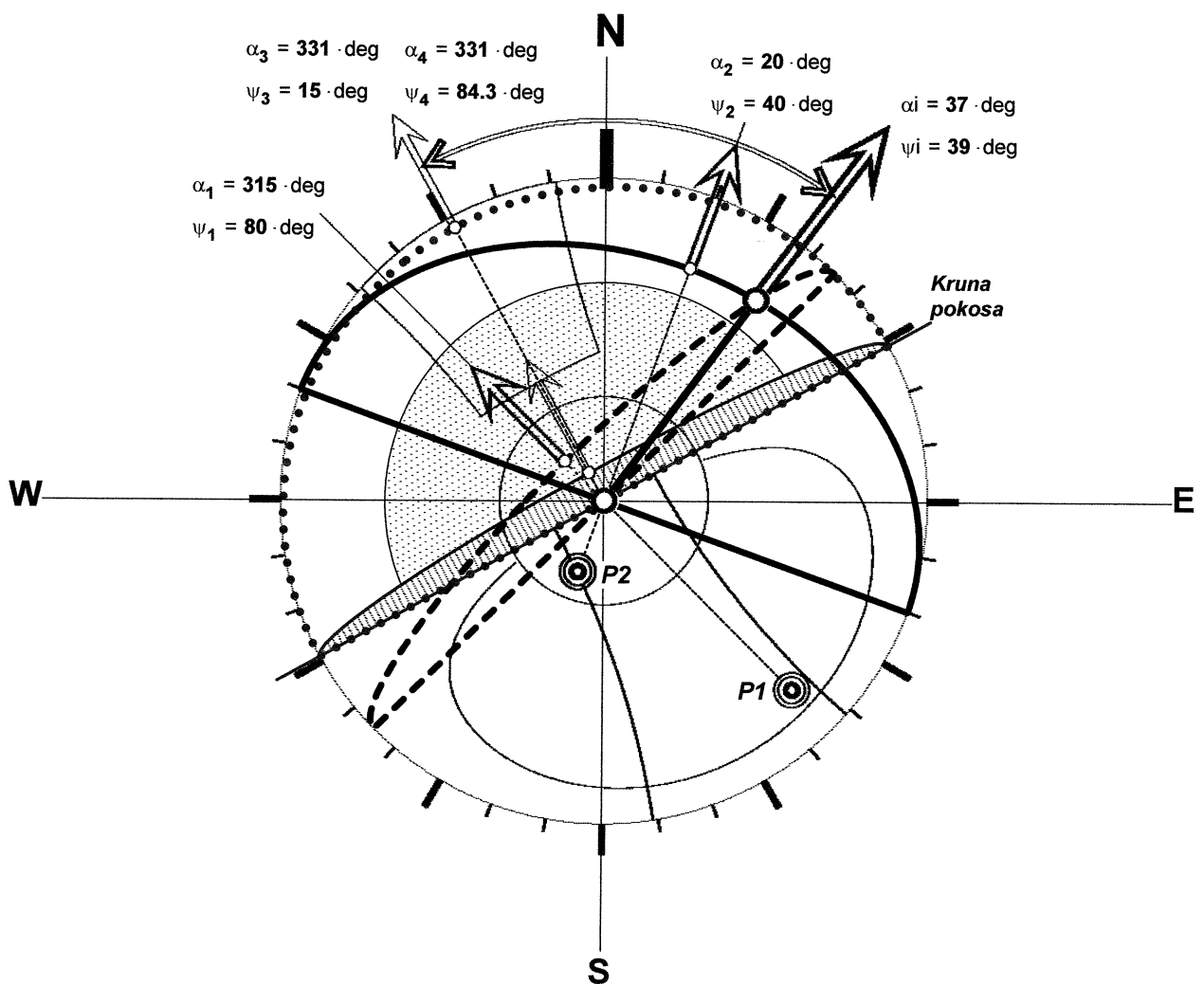
Ravnina 4 (lice pokosa) :  $\alpha_4 = 331 \cdot \text{deg}$   $\psi_4 = 84.3 \cdot \text{deg}$

Visina pokosa :  $H1 = 11.37 \cdot \text{m}$

*Klizna ravnina (rav1 = 3) :*  $\alpha_1 = 315 \cdot \text{deg}$   $\psi_1 = 80 \cdot \text{deg}$

*Klizna ravnina (rav2 = 1) :*  $\alpha_2 = 20 \cdot \text{deg}$   $\psi_2 = 40 \cdot \text{deg}$

*Smjer i nagib presjecnice kliznih ravnina :*  $\alpha_i = 37 \cdot \text{deg}$   $\psi_i = 39 \cdot \text{deg}$



Strukturni diagram diskontinuiteta na pokosu

### Kontrola formiranja klina i vlačne pukotine (1 / 0)

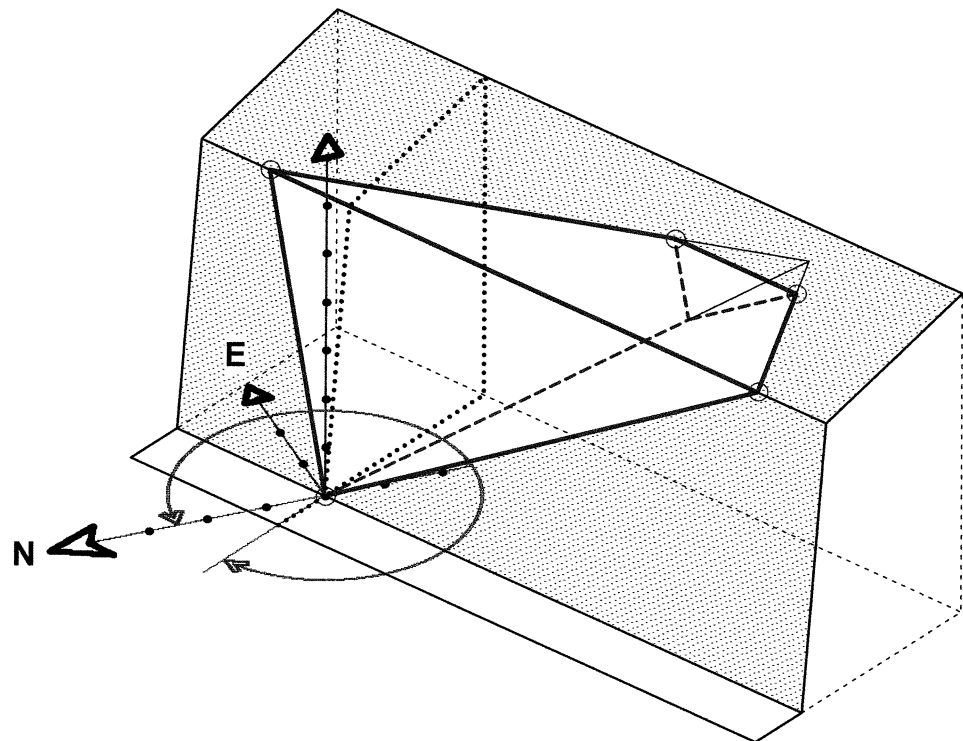
Ako je : (Formiranje\_klina = 0) i / ili (Vlačna\_pukotina = 0) proracun je završen.

Formiranje\_klina = 1

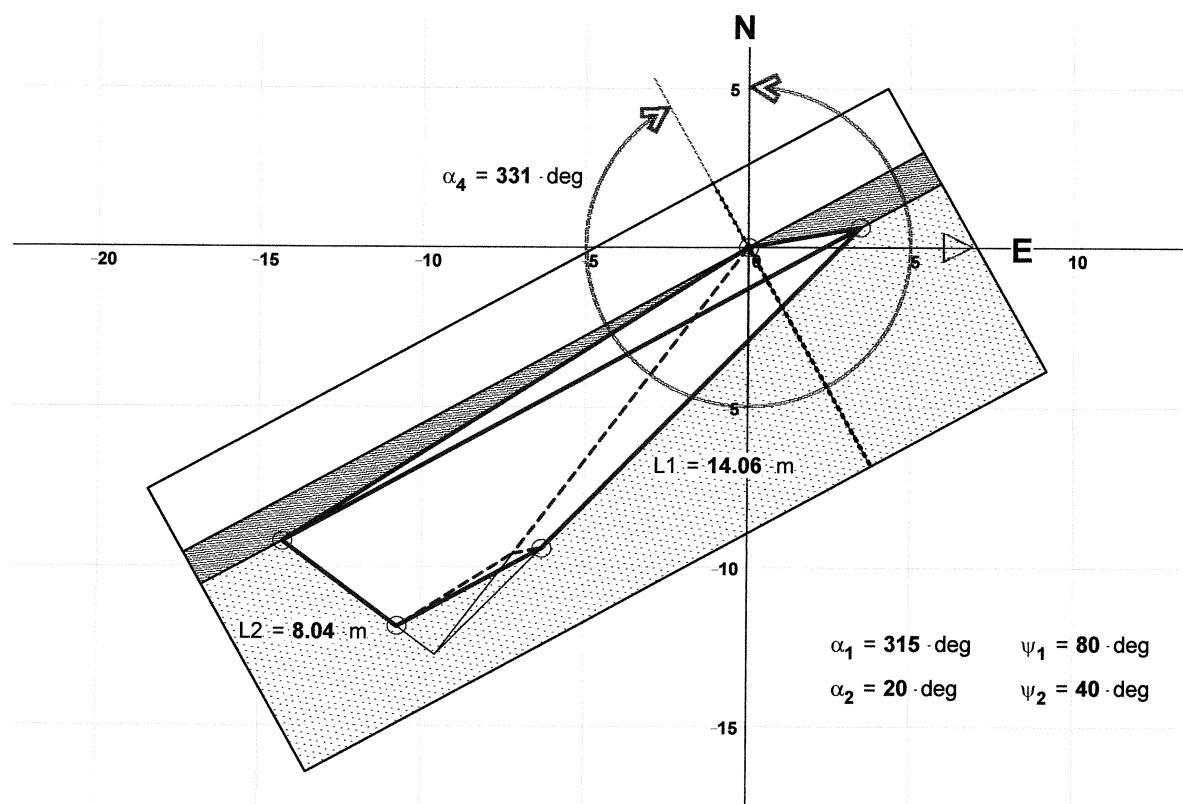
Vlačna\_pukotina = 1

Pogled na pokos, sl = 1 Klin = 1720.1

$$\begin{array}{ll} \alpha_1 = 315 \cdot \text{deg} & \psi_1 = 80 \cdot \text{deg} \\ \alpha_2 = 20 \cdot \text{deg} & \psi_2 = 40 \cdot \text{deg} \end{array}$$



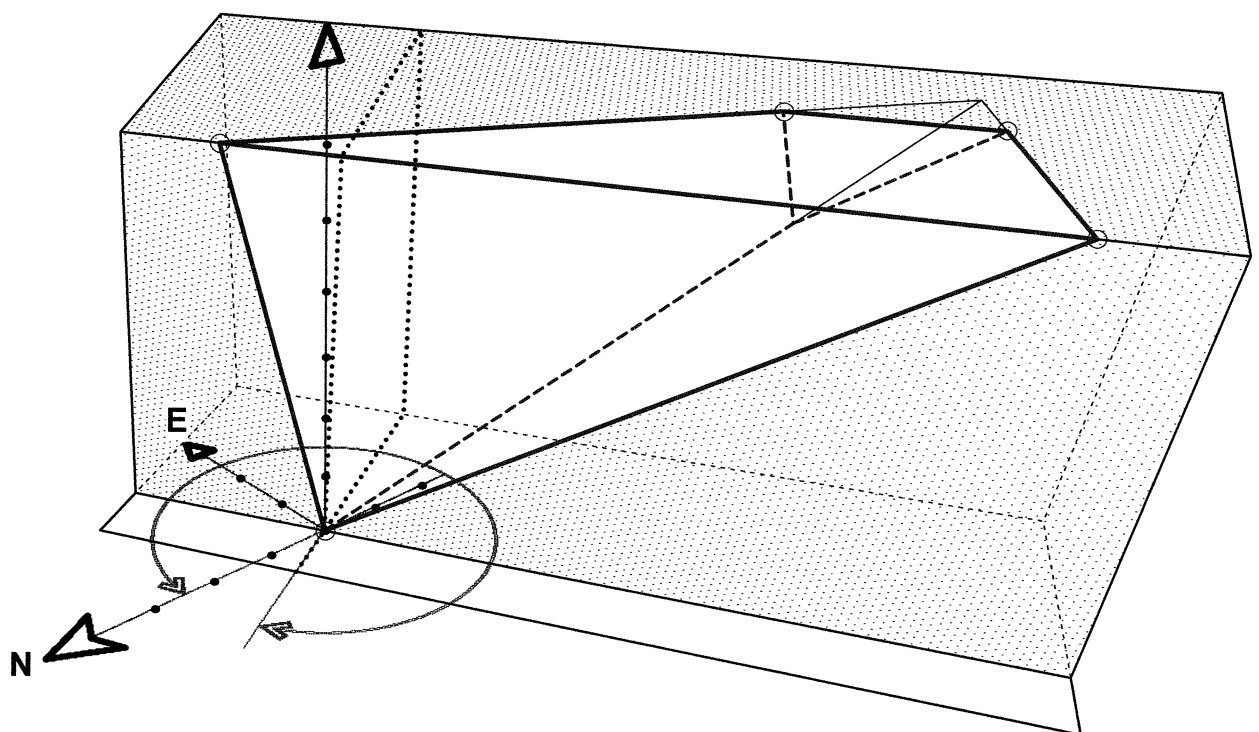
Tlocrt pokosa, sl = 7 Klin = 1720.1



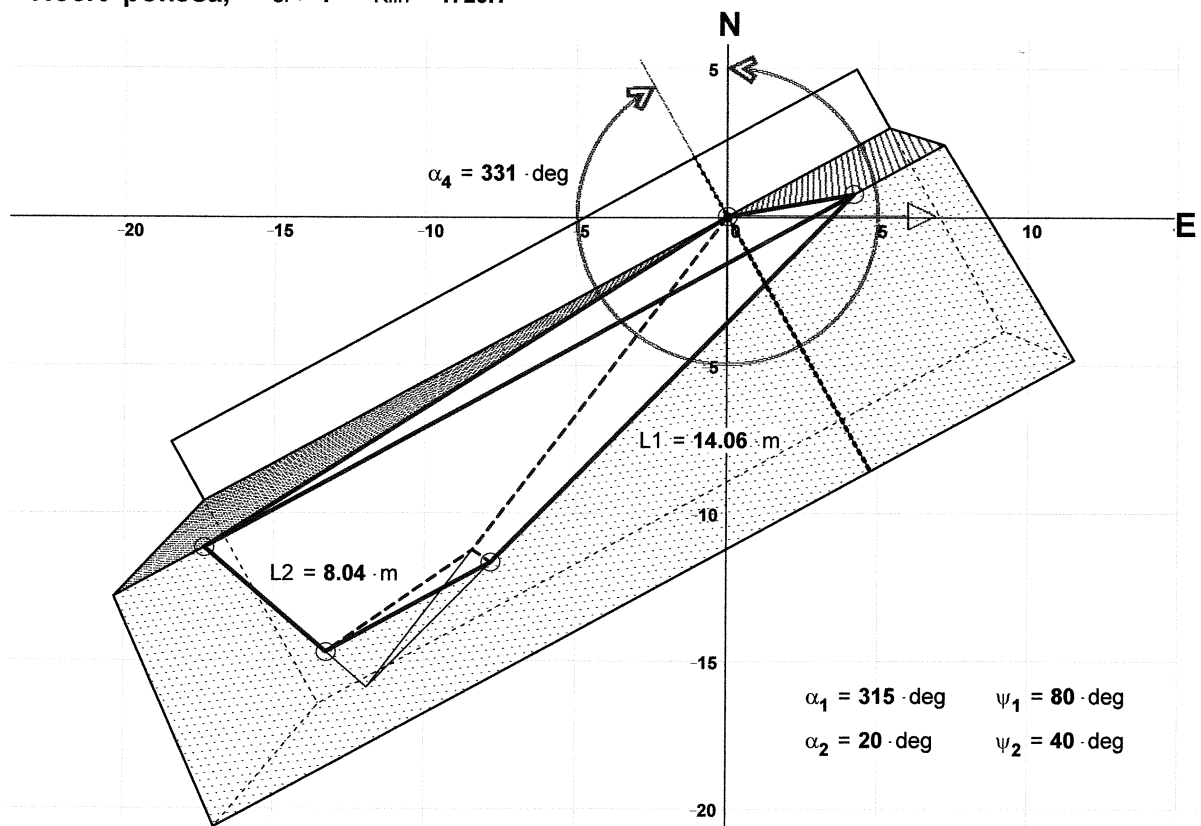
Pogled na pokos, sl = 1 Klin = 1720.1

$$\alpha_1 = 315 \cdot \text{deg} \quad \psi_1 = 80 \cdot \text{deg}$$

$$\alpha_2 = 20 \cdot \text{deg} \quad \psi_2 = 40 \cdot \text{deg}$$



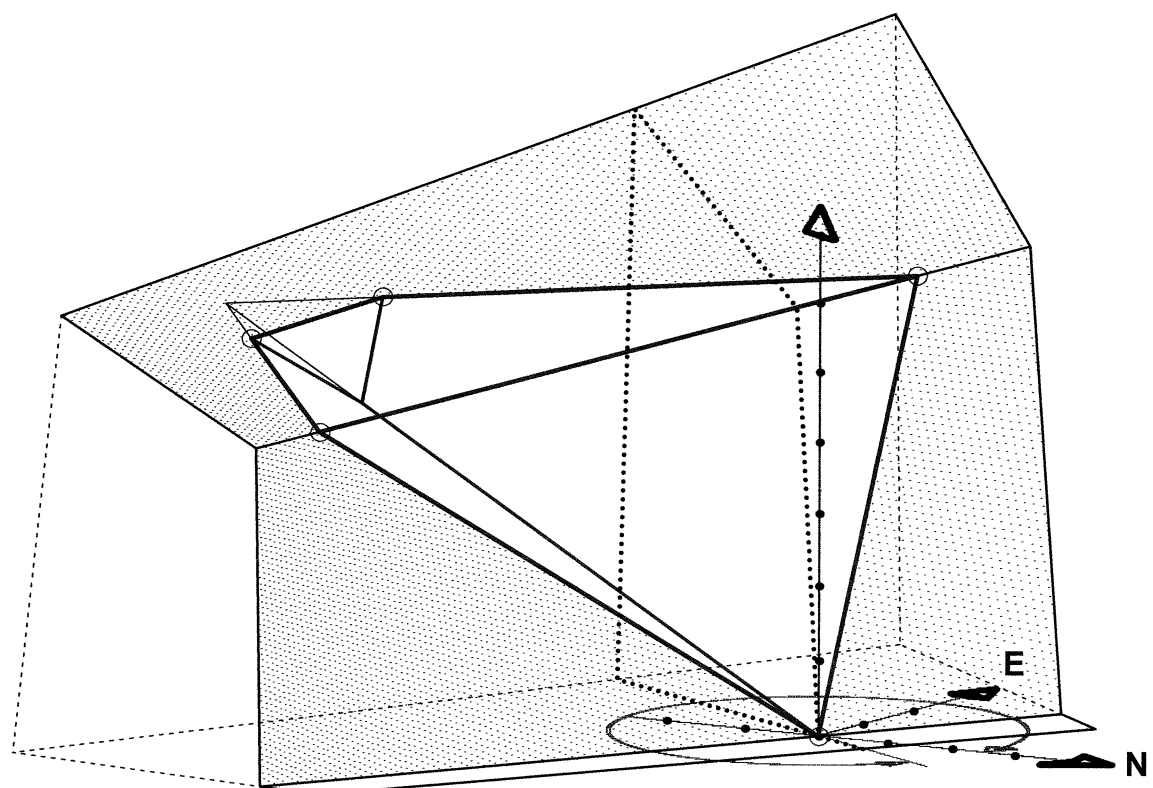
Tlocrt pokosa, sl = 7 Klin = 1720.1



Pogled iz pokosa, sl = 3 Klin = 1720.1

$$\alpha_1 = 315 \cdot \text{deg} \quad \psi_1 = 80 \cdot \text{deg}$$

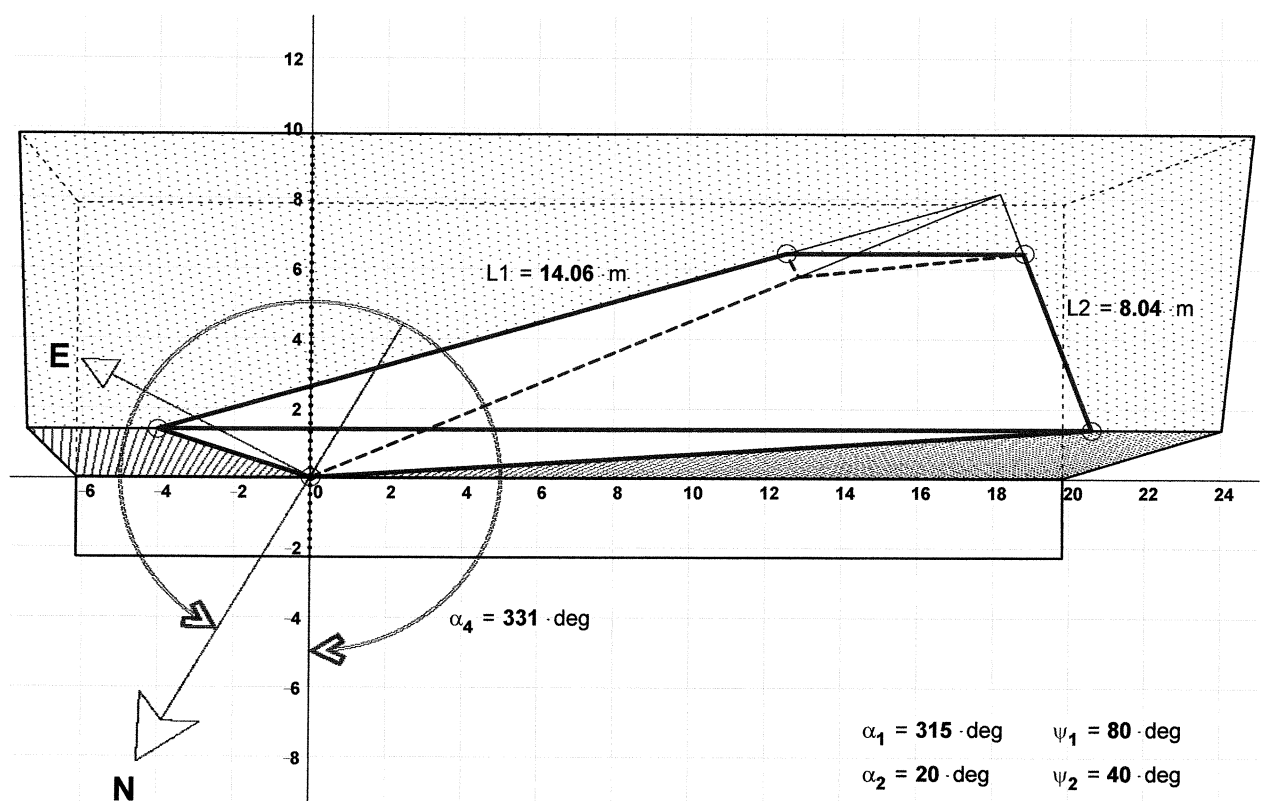
$$\alpha_2 = 20 \cdot \text{deg} \quad \psi_2 = 40 \cdot \text{deg}$$



Tlocrt pokosa, sl = 6 Klin = 1720.1

$$\alpha_1 = 315 \cdot \text{deg} \quad \psi_1 = 80 \cdot \text{deg}$$

$$\alpha_2 = 20 \cdot \text{deg} \quad \psi_2 = 40 \cdot \text{deg}$$



## Kontrola formiranja klina i vlačne pukotine na pokosu

Pokos u profilu, stac. km 1720.00, Klin = 1720.3

Ravnina 3 (površina terena) :  $\alpha_3 = 331 \cdot \text{deg}$   $\psi_3 = 15 \cdot \text{deg}$

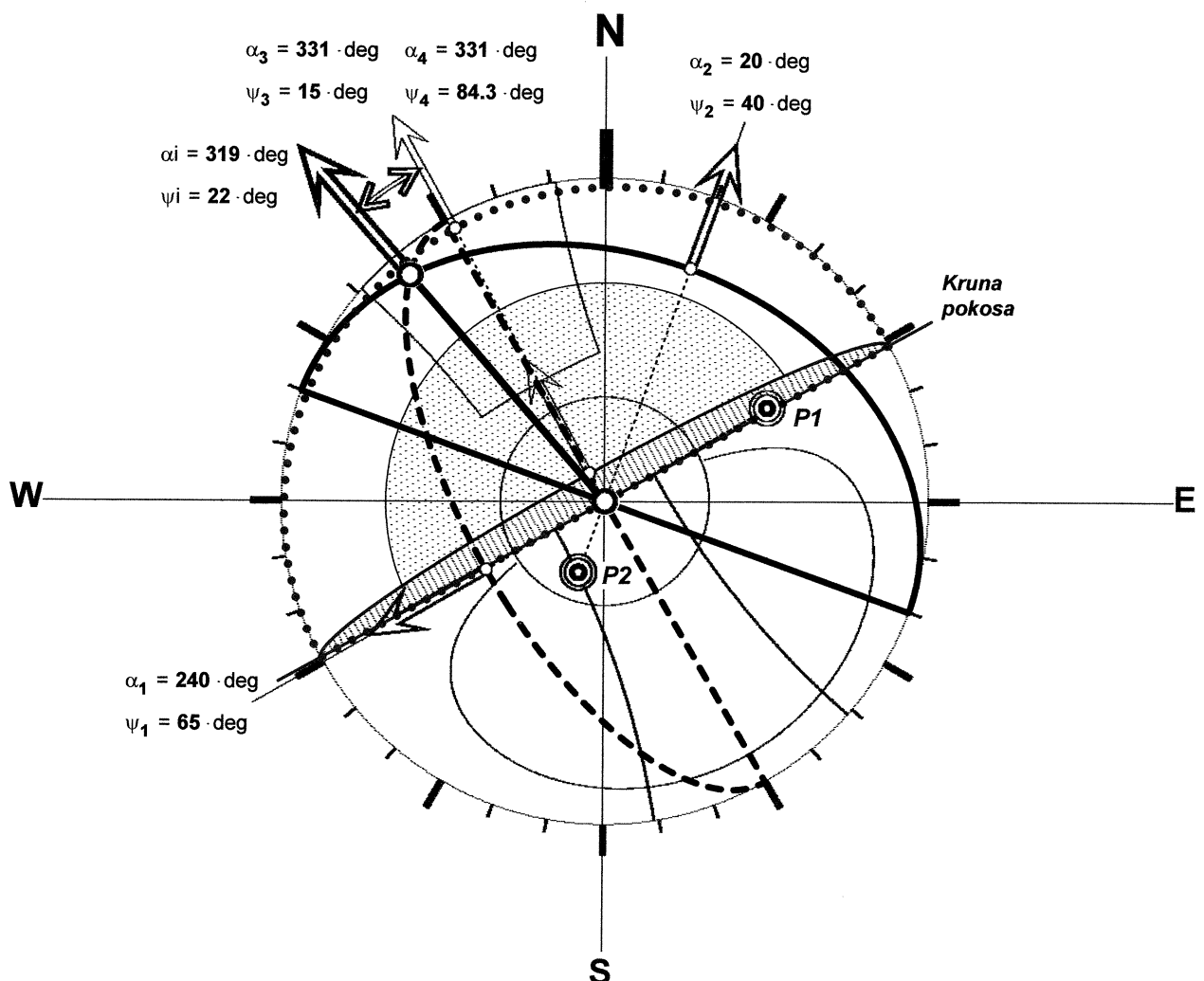
Ravnina 4 (lice pokosa) :  $\alpha_4 = 331 \cdot \text{deg}$   $\psi_4 = 84.3 \cdot \text{deg}$

Visina pokosa :  $H1 = 11.37 \cdot \text{m}$

*Klizna ravnina (rav1 = 5) :*  $\alpha_1 = 240 \cdot \text{deg}$   $\psi_1 = 65 \cdot \text{deg}$

*Klizna ravnina (rav2 = 1) :*  $\alpha_2 = 20 \cdot \text{deg}$   $\psi_2 = 40 \cdot \text{deg}$

*Smjer i nagib presjecnice kliznih ravnina :*  $\alpha_i = 319 \cdot \text{deg}$   $\psi_i = 22.2 \cdot \text{deg}$



Strukturni diagram diskontinuiteta na pokosu

### Kontrola formiranja klina i vlačne pukotine (1 / 0)

Ako je : (Formiranje\_klina = 0) i / ili (Vlacna\_pukotina = 0) proracun je završen.

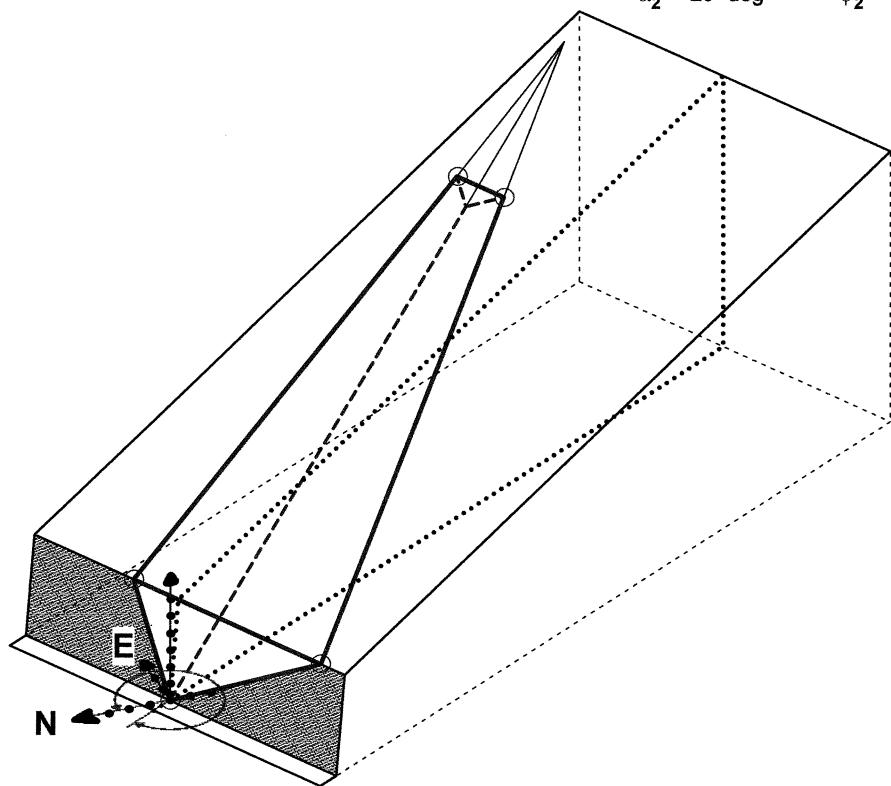
Formiranje\_klina = 1

Vlacna\_pukotina = 1

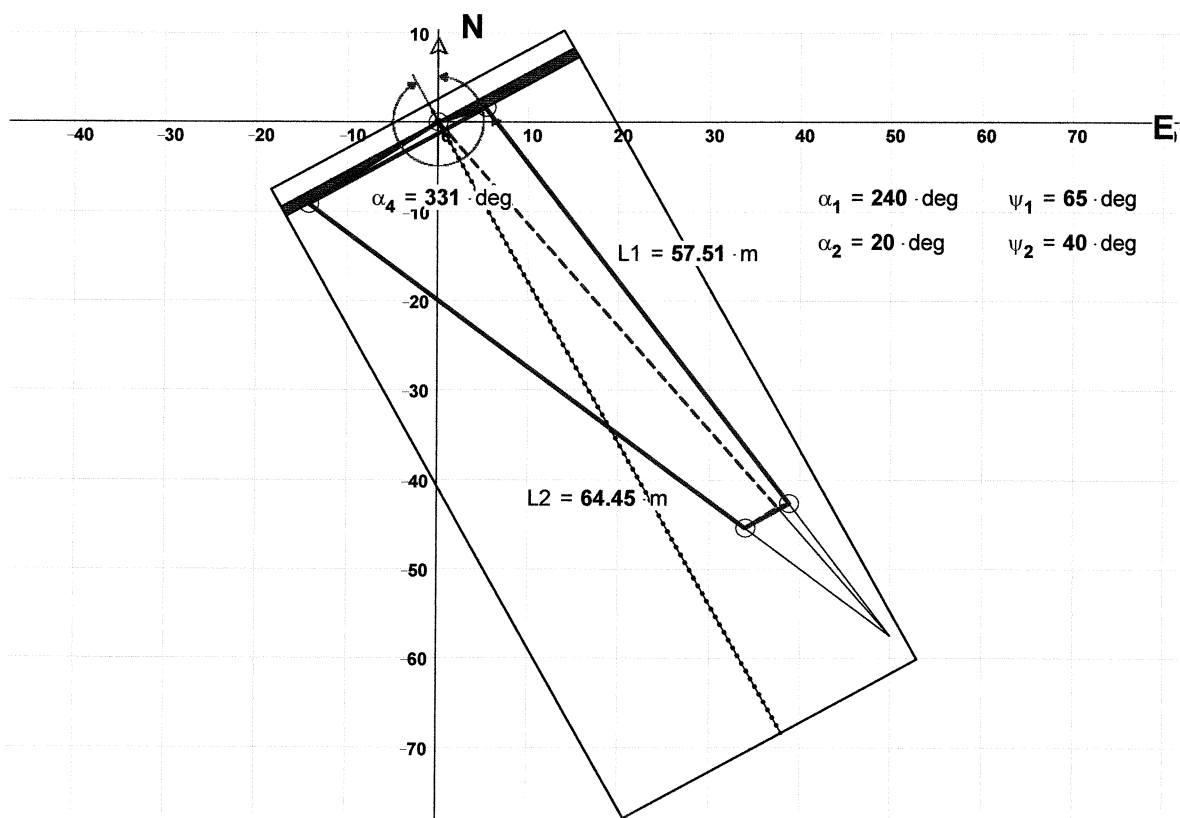
Pogled na pokos, sl := 1 Klin = 1720.3

$$\alpha_1 = 240 \cdot \text{deg} \quad \psi_1 = 65 \cdot \text{deg}$$

$$\alpha_2 = 20 \cdot \text{deg} \quad \psi_2 = 40 \cdot \text{deg}$$



Tlocrt pokosa, sl := 7 Klin = 1720.3



## Kontrola formiranja klina i vlačne pukotine na pokosu

Pokos u profilu, stac. km 1720.00, Klin = 1720.4

Ravnina 3 (površina terena) :  $\alpha_3 = 331 \cdot \text{deg}$   $\psi_3 = 15 \cdot \text{deg}$

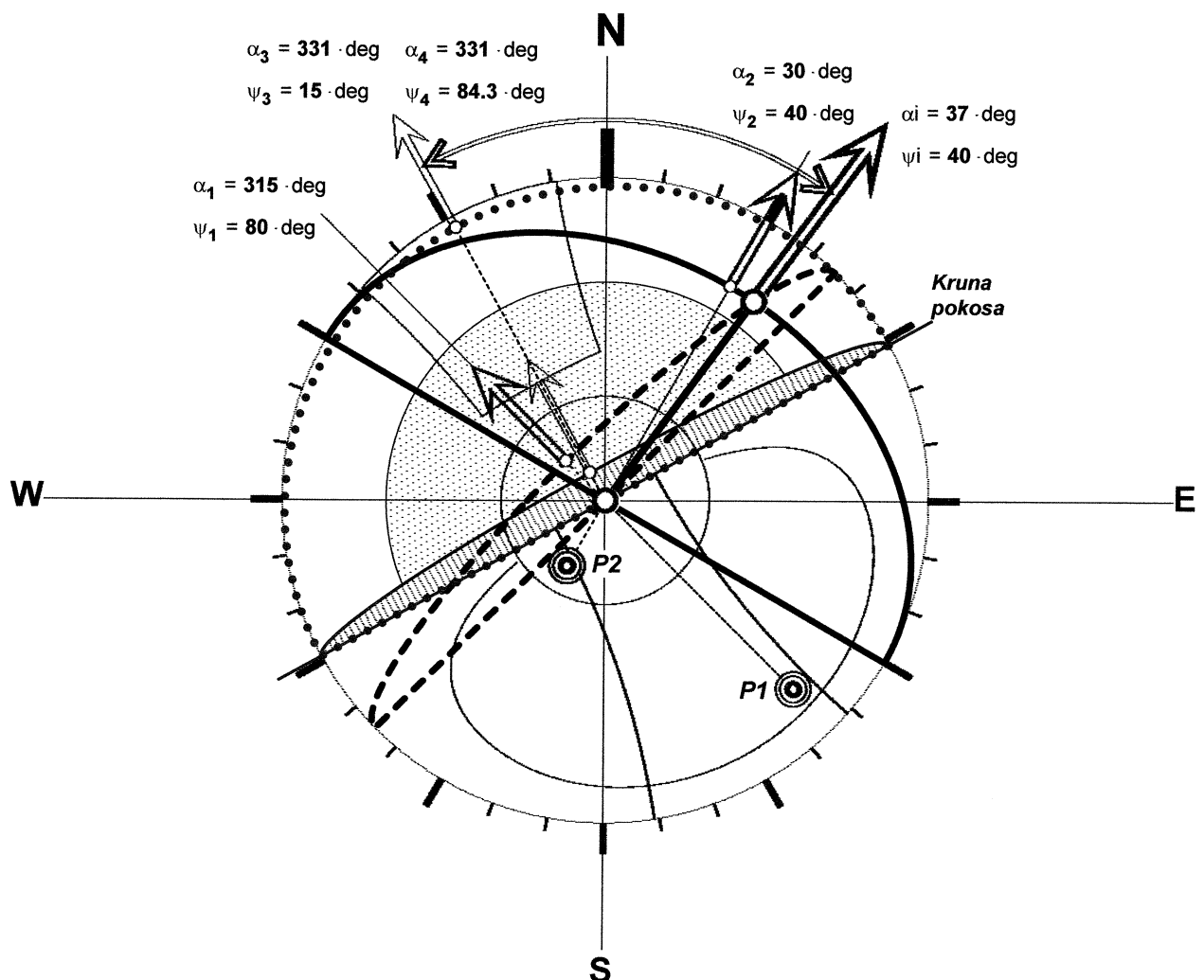
Ravnina 4 (lice pokosa) :  $\alpha_4 = 331 \cdot \text{deg}$   $\psi_4 = 84.3 \cdot \text{deg}$

Visina pokosa :  $H_1 = 11.37 \cdot \text{m}$

*Klizna ravnina (rav1 = 3) :*  $\alpha_1 = 315 \cdot \text{deg}$   $\psi_1 = 80 \cdot \text{deg}$

*Klizna ravnina (rav2 = 2) :*  $\alpha_2 = 30 \cdot \text{deg}$   $\psi_2 = 40 \cdot \text{deg}$

*Smjer i nagib presjecnice kliznih ravnina :*  $\alpha_i = 37 \cdot \text{deg}$   $\psi_i = 40 \cdot \text{deg}$



Strukturni diagram diskontinuiteta na pokosu

### Kontrola formiranja klina i vlačne pukotine (1 / 0)

Ako je : (Formiranje\_klina = 0) i / ili (Vlacna\_pukotina = 0) proracun je završen.

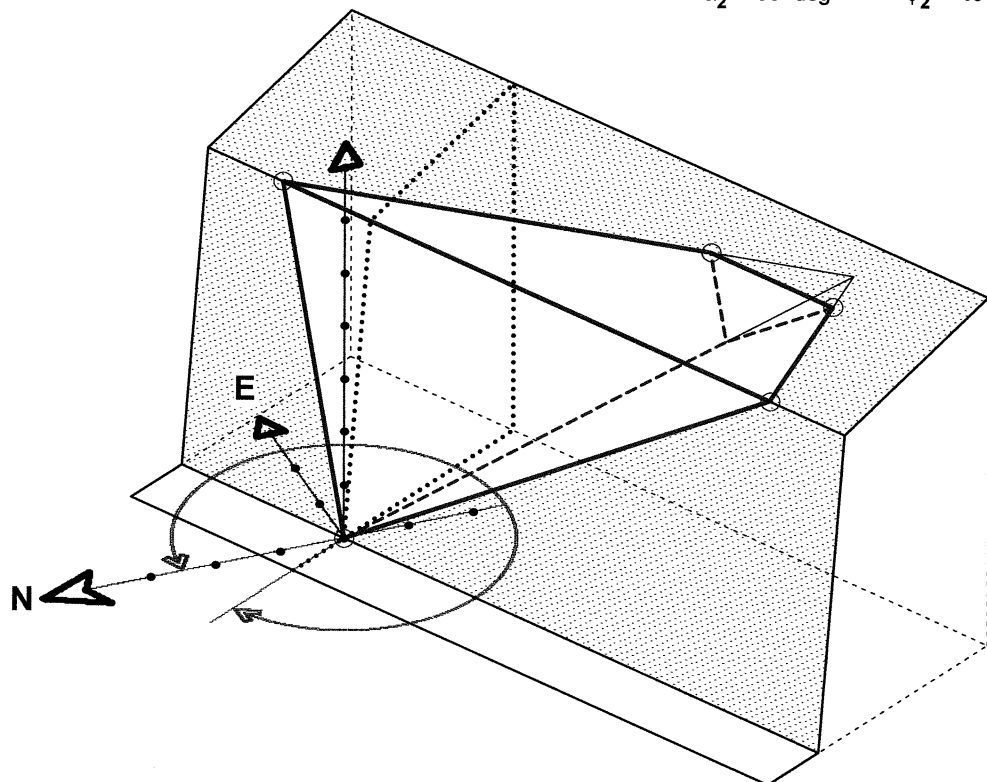
Formiranje\_klina = 1

Vlacna\_pukotina = 1

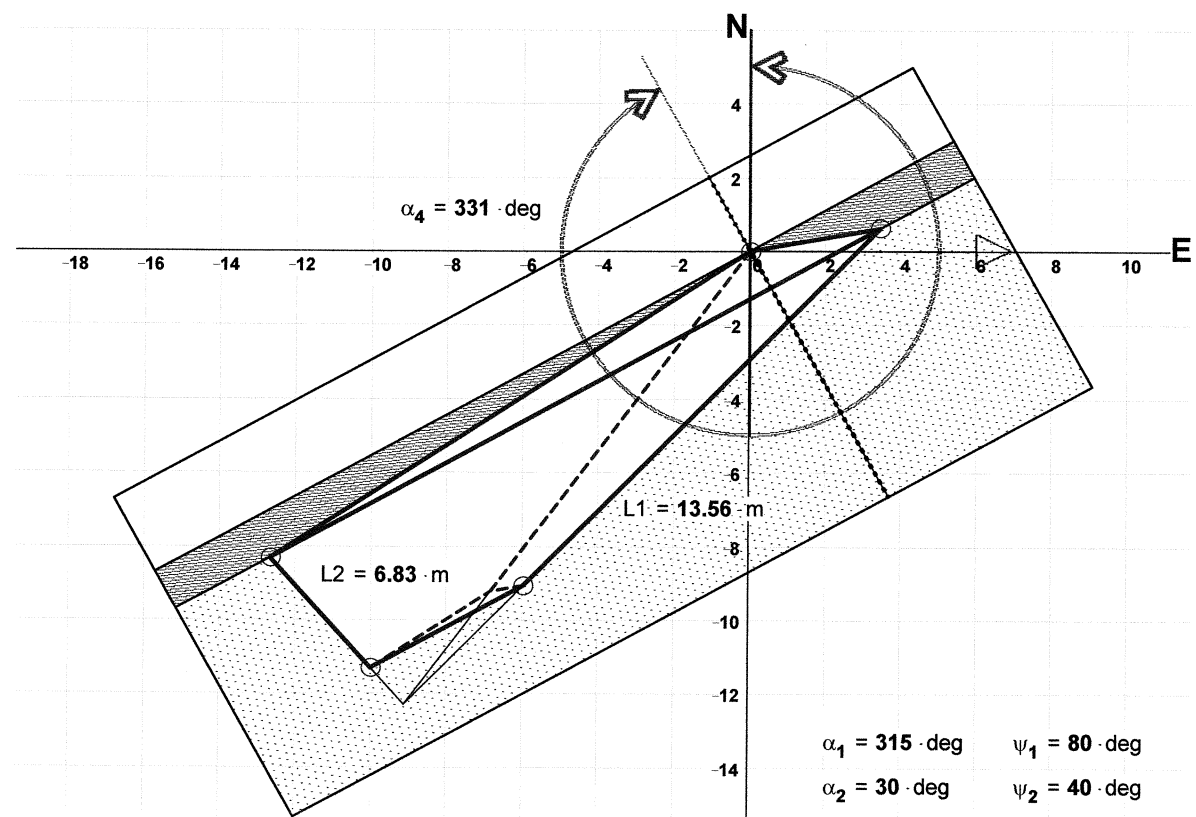
Pogled na pokos, sl = 1 Klin = 1720.4

$$\alpha_1 = 315 \cdot \text{deg} \quad \psi_1 = 80 \cdot \text{deg}$$

$$\alpha_2 = 30 \cdot \text{deg} \quad \psi_2 = 40 \cdot \text{deg}$$



Tlocrt pokosa, sl = 7 Klin = 1720.4



## Kontrola formiranja klini i vlačne pukotine na pokosu

Pokos u profilu, stac. km 1720.00, Klin = 1720.6

Ravnina 3 (površina terena) :  $\alpha_3 = 331 \cdot \text{deg}$   $\psi_3 = 15 \cdot \text{deg}$

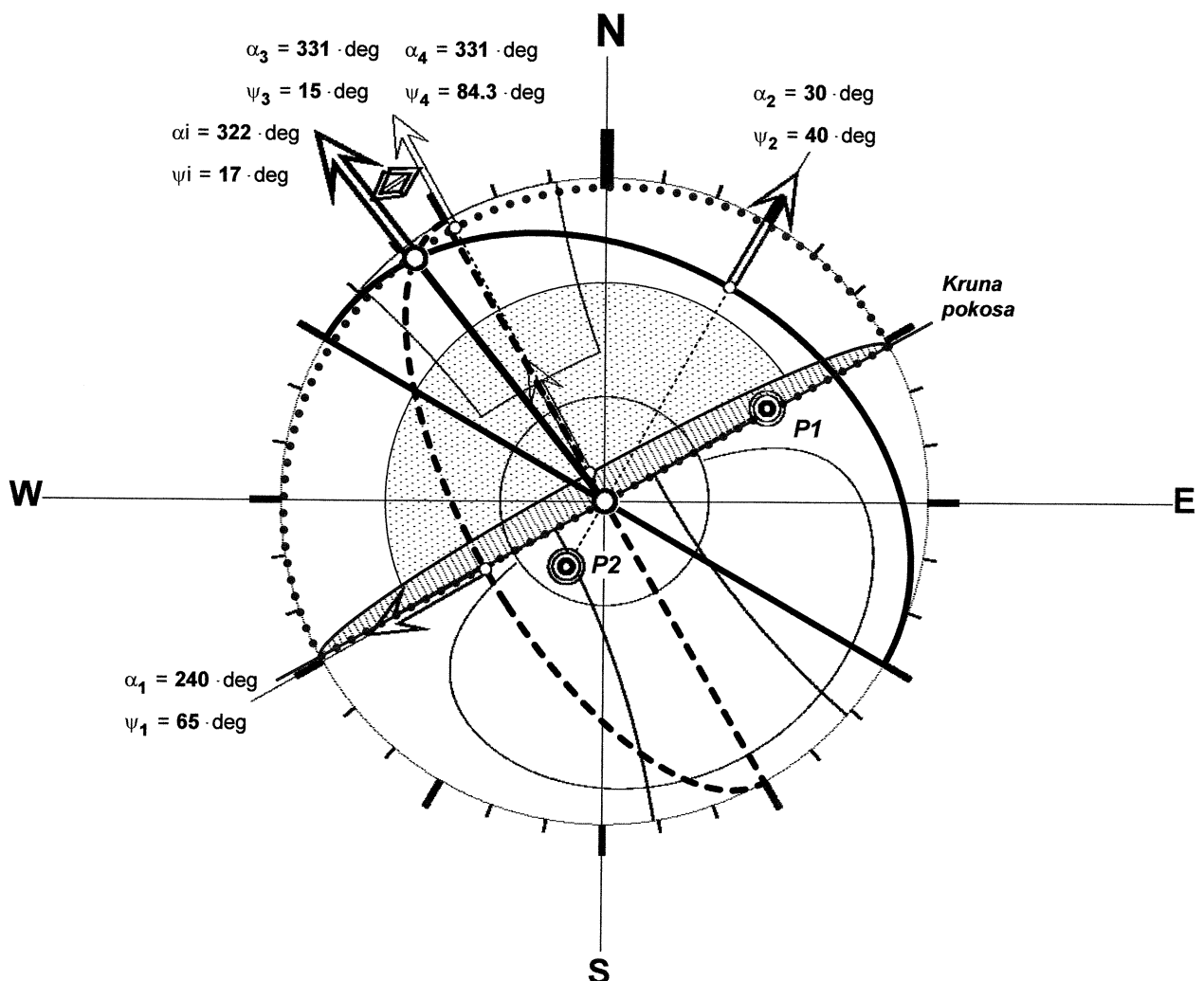
Ravnina 4 (lice pokosa) :  $\alpha_4 = 331 \cdot \text{deg}$   $\psi_4 = 84.3 \cdot \text{deg}$

Visina pokosa :  $H1 = 11.37 \cdot \text{m}$

*Klizna ravnina (rav1 = 5) :*  $\alpha_1 = 240 \cdot \text{deg}$   $\psi_1 = 65 \cdot \text{deg}$

*Klizna ravnina (rav2 = 2) :*  $\alpha_2 = 30 \cdot \text{deg}$   $\psi_2 = 40 \cdot \text{deg}$

*Smjer i nagib presjecnice kliznih ravnina :*  $\alpha_i = 322 \cdot \text{deg}$   $\psi_i = 17.3 \cdot \text{deg}$



Strukturni diagram diskontinuiteta na pokosu

## Kontrola formiranja klini i vlačne pukotine (1 / 0)

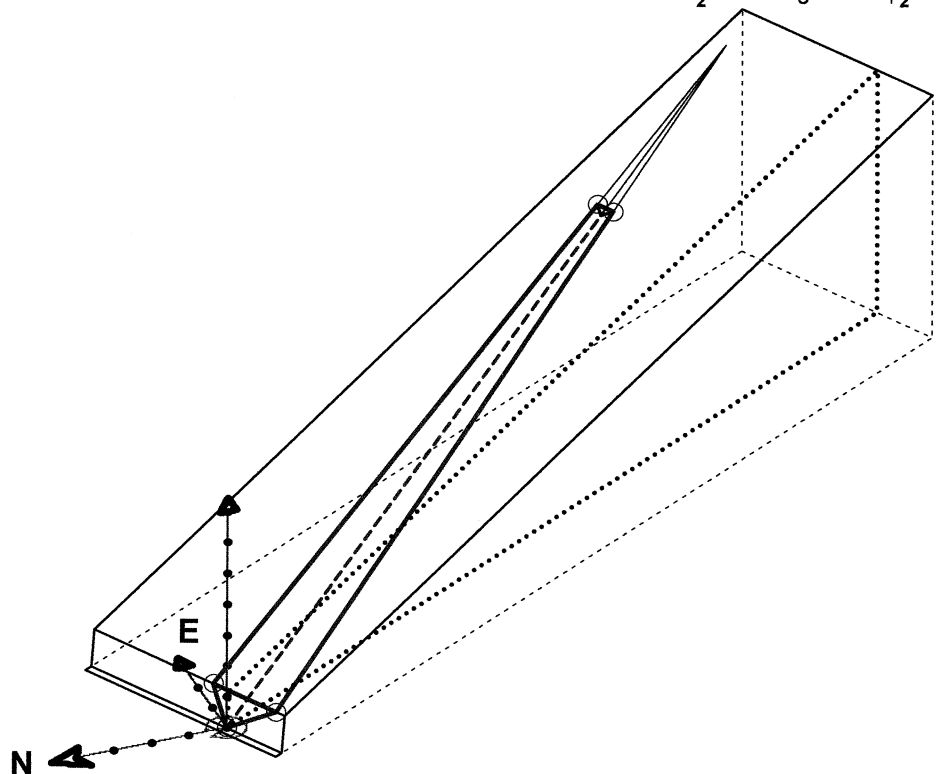
Ako je : (Formiranje\_klina = 0) i / ili (Vlačna\_pukotina = 0) proracun je završen.

Formiranje\_klina = 1

Vlačna\_pukotina = 1

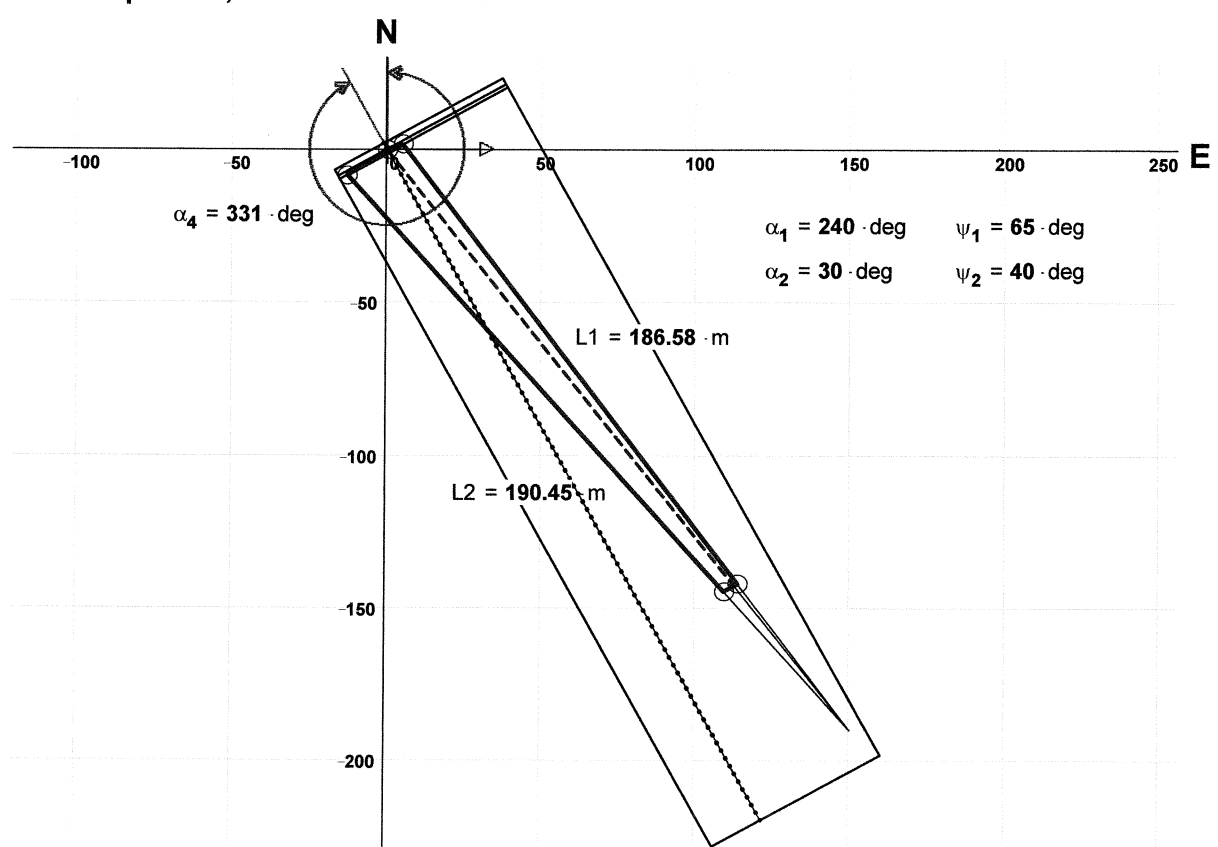
Pogled na pokos, sl := 1 Klin = 1720.6

$$\begin{array}{ll} \alpha_1 = 240 \cdot \text{deg} & \psi_1 = 65 \cdot \text{deg} \\ \alpha_2 = 30 \cdot \text{deg} & \psi_2 = 40 \cdot \text{deg} \end{array}$$



45 Tlocrt pokosa, sl := 7 Klin = 1720.6

$$\begin{array}{ll} \alpha_1 = 240 \cdot \text{deg} & \psi_1 = 65 \cdot \text{deg} \\ \alpha_2 = 30 \cdot \text{deg} & \psi_2 = 40 \cdot \text{deg} \end{array}$$



**Ulagni podaci za kombinacije opterećenja**  
**(oblik klina tetraedar, proračun za diskontinuitete bez ispune)**

Pokos u stac. 1720.00 km      Klin = 1720.1

**POKOS**

$$\text{Koordinate profila pokosa : } \text{Ko} = \begin{pmatrix} 1 & 2 & 3 & 4 \\ -2 & 0 & 1.13 & 42.13 \\ -0.1 & 0 & 11.37 & 22.36 \end{pmatrix} \cdot \text{m}$$

1. red (redni broj), 2. red (x), 3. red (y)

**Visina pokosa :** H1 = 11.37 · m

**Tip nagiba pokosa ( $\eta = 1$  nagib,  $\eta = -1$  kontranagib) :**  $\eta = 1$

**Koefficijent udaljenosti vlačne pukotine :** kvp = 0.75

**Kota dna kliznog pravca :** yD = 0 · m

**Kut kliznog pravca :**  $\gamma D = 63 \cdot \text{deg}$

**Jedinicne tezine stijene i vode :**  $\gamma = 25 \cdot \text{kN} \cdot \text{m}^{-3}$        $\gamma w = 10 \cdot \text{kN} \cdot \text{m}^{-3}$

---

Ravnina 3 (gornja površina terena) :  $\alpha_3 = 331 \cdot \text{deg}$        $\psi_3 = 15 \cdot \text{deg}$

Ravnina 4 (lice pokosa) :  $\alpha_4 = 331 \cdot \text{deg}$        $\psi_4 = 84.3 \cdot \text{deg}$

Ravnina 5 (vlačna pukotina) :  $\alpha_5 = 331 \cdot \text{deg}$        $\psi_5 = 84.3 \cdot \text{deg}$

---

**Klizna ravnina 1 (rav1 = 3) :**  $\alpha x_{rav1} = 315 \cdot \text{deg}$        $\psi x_{rav1} = 80 \cdot \text{deg}$

**Klizna ravnina 2 (rav2 = 1) :**  $\alpha x_{rav2} = 20 \cdot \text{deg}$        $\psi x_{rav2} = 40 \cdot \text{deg}$

---

**Nelinearni kriterij cvrstce na smicanje stijenske pukotine (bez ispune)**

*Barton & Bandis, 1990*

**Klizna ravnina 1      Klizna ravnina 2**

rav1 = 3      rav2 = 1

**Normalno naprezanje u pukotini :**  $\sigma nx = 0.5 \cdot H1 \cdot \gamma$        $\sigma nx_1 = 0.14 \cdot \text{MPa}$

**Rezidualni kut trenja diskontinuiteta :**  $\phi r1_{rav1} = 29 \cdot \text{deg}$        $\phi r2_{rav2} = 29 \cdot \text{deg}$

**Koefficijenti hrapavosti pukotina :**  $JRC1_{rav1} = 6$        $JRC2_{rav2} = 6$

**Vlačne cvrstce zidova pukotina :**  $JCS1_{rav1} = 15 \cdot \text{MPa}$        $JCS2_{rav2} = 15 \cdot \text{MPa}$

---

**Smicuca cvrstoca diskontinuiteta :**  $\tau 1_{rav1} = 124.2 \cdot \text{kPa}$        $\tau 2_{rav2} = 124.2 \cdot \text{kPa}$

**Bazni kut trenja diskontinuiteta :**  $\phi ba1_{rav1} = 29 \cdot \text{deg}$        $\phi ba2_{rav2} = 29 \cdot \text{deg}$

**Kohezija :**  $co1_{rav1} = 11.4 \cdot \text{kPa}$        $co2_{rav2} = 11.4 \cdot \text{kPa}$

**Potres**

Klin = 1720.1

$$\text{Najveće ubrzanje tla u odnosu na gravitaciju : } \alpha_s = \frac{ag}{g} \quad \alpha_s = 0.15$$

$$\text{Parametri : } S_s = 1 \quad r_s = 1$$

$$\text{Horizontalni potresni koeficijent : } k_s = \alpha_s \cdot \frac{S}{r} \quad k_{s_3} = 0.15$$

$$\text{Potresna sila : } E = W \cdot k_s \quad E = 744.6 \cdot \text{kN}$$

**Geometrija klina**

$$\text{Smjer } (\alpha) \text{ i pad } (\psi) \text{ presjecista kliznih ravnina : } \alpha_i = 36.8 \cdot \text{deg} \quad \psi_i = 39 \cdot \text{deg}$$

$$\text{Površine kliznih ravnina : } A_1 = 103.1 \cdot \text{m}^2 \quad A_2 = 57.7 \cdot \text{m}^2$$

$$\text{Površine vlačne pukotine : } A_5 = 7.2 \cdot \text{m}^2$$

$$\text{Površina plohe klina na pokosu : } A_{kl} = 115.31 \cdot \text{m}^2$$

$$\text{Volumen klina : } V_{ol} = 198.6 \cdot \text{m}^3$$

$$\text{Težina klina : } W = 4964.1 \cdot \text{kN}$$


---

$$\text{Koeficijent udaljenosti vlačne pukotine : } k_{vp} = 0.75$$

$$\text{Dubina klina, ruba pokosa - vlačna pukotina : } B_{kl\_a} = 4.05 \cdot \text{m}$$

$$\text{Dubina klina, vlačne pukotine - unutarnji vrha klina : } B_{kl\_b} = 1.34 \cdot \text{m}$$

$$\text{Ukupna dubina klina } (a + b) : B_{kl} = 5.39 \cdot \text{m}$$

$$\text{Udaljenost vlačne pukotine od ruba pokosa, po rubovima klina : } L_1 = 14.06 \cdot \text{m} \quad L_2 = 8.04 \cdot \text{m}$$

$$\text{Koordinate prednjeg lica (obloznog, sidrenog) zida : } x_{Zid} = \begin{pmatrix} -1.53 \\ 0.73 \\ 1.13 \end{pmatrix} \cdot \text{m} \quad y_{Zid} = \begin{pmatrix} 0 \\ 11.87 \\ 11.87 \end{pmatrix} \cdot \text{m}$$

$$\text{Aksonometrija : } s_l := 1 \quad \alpha_{sl} = 291 \cdot \text{deg} \quad \beta_{sl} = 35 \cdot \text{deg} \quad Oc_{sl} = 50 \cdot \text{m}$$

$$s_l := 6 \quad \alpha_{sl} = 331 \cdot \text{deg} \quad \beta_{sl} = 90 \cdot \text{deg} \quad Oc_{sl} = 65 \cdot \text{m}$$

**Kombinacija 1 : Vlastita težina klin**

**Ulagni podaci** \_\_\_\_\_ Klin = 1720.1

**Hidrostatski tlak (1/0) ? :**  $wU_1 = 0$

**Sila sidra :**  $Tsid_1 = 0 \cdot \text{kN}$

**Sila potresa :**  $ks_1 = 0$

**Rezultati proracuna** \_\_\_\_\_

**Prosjecni hidrostatski tlak na ravnini 1, 2 i 5 :**  $u1_1 = 0 \cdot \text{kPa}$   $u2_1 = 0 \cdot \text{kPa}$   $u5_1 = 0 \cdot \text{kPa}$

**Hidrostatska sila na ravninama 1 i 2 :**  $U1_1 = 0 \cdot \text{kN}$   $U2_1 = 0 \cdot \text{kN}$

**Hidrostatska sila u vlačnoj pukotini :**  $V_1 = 0 \cdot \text{kN}$

**Normalna sila na ravnini 1 :**  $N1_1 = -787.5 \cdot \text{kN}$

**Normalna sila na ravnini 2 :**  $N2_1 = 4118.2 \cdot \text{kN}$

**Totalna smicuca sila na rav. 1 i 2 :**  $S_1 = 3108.2 \cdot \text{kN}$

**Totalna smicuca otpornost na rav. 1 i 2 :**  $Q_1 = 3678.1 \cdot \text{kN}$

**Faktor sigurnosti :**  $Fs_1 = 1.18$

**Kombinacija 2 : Vlastita težina klin + Hidrostatski tlak**

**Ulagni podaci** \_\_\_\_\_ Klin = 1720.1

**Hidrostatski tlak (1/0) ? :**  $wU_2 = 1$

**Sila sidra :**  $Tsid_2 = 0 \cdot \text{kN}$

**Sila potresa :**  $ks_2 = 0$

**Rezultati proracuna** \_\_\_\_\_

**Prosjecni hidrostatski tlak na ravnini 1, 2 i 5 :**  $u1_2 = 0 \cdot \text{kPa}$   $u2_2 = 0 \cdot \text{kPa}$   $u5_2 = 0 \cdot \text{kPa}$

**Hidrostatska sila na ravninama 1 i 2 :**  $U1_2 = 0 \cdot \text{kN}$   $U2_2 = 0 \cdot \text{kN}$

**Hidrostatska sila u vlačnoj pukotini :**  $V_2 = 66.2 \cdot \text{kN}$

**Normalna sila na ravnini 1 :**  $N1_2 = -1795 \cdot \text{kN}$

**Normalna sila na ravnini 2 :**  $N2_2 = 3579.2 \cdot \text{kN}$

**Totalna smicuca sila na rav. 1 i 2 :**  $S_2 = 3125.1 \cdot \text{kN}$

**Totalna smicuca otpornost na rav. 1 i 2 :**  $Q_2 = 2820.9 \cdot \text{kN}$

**Faktor sigurnosti :**  $Fs_2 = 0.9$

### Kombinacija 3 : Vlastita težina klin + Potres

**Ulagni podaci** \_\_\_\_\_ Klin = 1720.1

**Hidrostatski tlak (1/0) ? :**  $wU_3 = 0$

**Potrebna sila sidra :**  $Tsid_3 = 0 \cdot \text{kN}$

**Sila potresa, najnepovoljniji smjer :**  $ks_3 = 0.15$        $\alpha_{ie} = 9.3 \cdot \text{deg}$        $\psi_{ie} = 5.4 \cdot \text{deg}$

#### **Rezultati proracuna** \_\_\_\_\_

**Prosječni hidrostatski tlak na ravnini 1, 2 i 5 :**  $u1_3 = 0 \cdot \text{kPa}$        $u2_3 = 0 \cdot \text{kPa}$        $u5_3 = 0 \cdot \text{kPa}$

**Hidrostatska sila na ravninama 1 i 2 :**  $U1_3 = 0 \cdot \text{kN}$        $U2_3 = 0 \cdot \text{kN}$

**Hidrostatska sila u vlačnoj pukotini :**  $V_3 = 0 \cdot \text{kN}$

**Normalna sila na ravnini 1 :**  $N1_3 = -773.4 \cdot \text{kN}$

**Normalna sila na ravnini 2 :**  $N2_3 = 4132.3 \cdot \text{kN}$

**Totalna smicuca sila na rav. 1 i 2 :**  $S_3 = 2789.8 \cdot \text{kN}$

**Totalna smicuca otpornost na rav. 1 i 2 :**  $Q_3 = 3693.7 \cdot \text{kN}$

**Faktor sigurnosti :**  $Fs_3 = 0.91$

15

### Kombinacija 4 : Vlastita težina klin + Hidrostatski tlak + Potres

**Ulagni podaci** \_\_\_\_\_ Klin = 1720.1

**Hidrostatski tlak (1/0) ? :**  $wU_4 = 1$

**Potrebna sila sidra :**  $Tsid_4 = 0 \cdot \text{kN}$

**Sila potresa :**  $ks_4 = 0.1$

#### **Rezultati proracuna** \_\_\_\_\_

**Najnepovoljniji smjer sile potresa :**  $\alpha_{ie} = 9.3 \cdot \text{deg}$        $\psi_{ie} = 5.4 \cdot \text{deg}$

**Prosječni hidrostatski tlak na ravnini 1, 2 i 5 :**  $u1_4 = 0 \cdot \text{kPa}$        $u2_4 = 0 \cdot \text{kPa}$        $u5_4 = 0 \cdot \text{kPa}$

**Hidrostatska sila na ravninama 1 i 2 :**  $U1_4 = 0 \cdot \text{kN}$        $U2_4 = 0 \cdot \text{kN}$

**Hidrostatska sila u vlačnoj pukotini :**  $V_4 = 66.2 \cdot \text{kN}$

**Normalna sila na ravnini 1 :**  $N1_4 = -1692 \cdot \text{kN}$

**Normalna sila na ravnini 2 :**  $N2_4 = 3682.2 \cdot \text{kN}$

**Totalna smicuca sila na rav. 1 i 2 :**  $S_4 = 2658.6 \cdot \text{kN}$

**Totalna smicuca otpornost na rav. 1 i 2 :**  $Q_4 = 2935.1 \cdot \text{kN}$

**Faktor sigurnosti (kontrola) :**  $Fs_4 = 0.74$

## Kombinacija 5 : Vlastita težina klena + Hidrostatski tlak + Sila sidra

**Ulazni podaci** \_\_\_\_\_ Klin = 1720.1

**Hidrostatski tlak (1/0) ? :**  $wU_5 = 1$

**Potrebna sila sidra :**  $Tsid_5 - Proracun !$

**Sila potresa :**  $ks_5 = 0$

**Traženi faktor sigurnosti :**  $FSi_5 = 1.5$

### **Rezultati proracuna** \_\_\_\_\_

**Potrebna sila sidra (za FSi) :**  $Tsid_5 = 1138.4 \cdot kN$   $\alpha_{it_5} = 199.5 \cdot deg$   $\psi_{it_5} = -20.2 \cdot deg$

**Prosjecni hidrostatski tlak na ravnini 1, 2 i 5 :**  $u1_5 = 0 \cdot kPa$   $u2_5 = 0 \cdot kPa$   $u5_5 = 0 \cdot kPa$

**Hidrostatska sila na ravninama 1 i 2 :**  $U1_5 = 0 \cdot kN$   $U2_5 = 0 \cdot kN$

**Hidrostatska sila u vlačnoj pukotini :**  $V_5 = 66.2 \cdot kN$

**Normalne sile na ravninama 1 i 2 :**  $N1_5 = -1520.2 \cdot kN$   $N2_5 = 3854 \cdot kN$

**Totalna smicuca sila na rav. 1 i 2 :**  $S_5 = 2083.7 \cdot kN$

**Totalna smicuca otpornost na rav. 1 i 2 :**  $Q_5 = 3125.5 \cdot kN$

---

**Faktor sigurnosti (kontrola) :**  $FS_5 = 1.5$

16

## Kombinacija 6 : Vlastita težina klena + Potres + Sila sidra

**Ulazni podaci** \_\_\_\_\_ Klin = 1720.1

**Hidrostatski tlak (1/0) ? :**  $wU_6 = 0$

**Potrebna sila sidra :**  $Tsid_6 - Proracun !$

**Sila potresa :**  $ks_6 = 0.15$

**Traženi faktor sigurnosti :**  $FSi_6 = 2$

### **Rezultati proracuna** \_\_\_\_\_

**Potrebna sila sidra (za FSi) :**  $Tsid_6 = 1914.4 \cdot kN$

**Najpovoljniji smjer sidra :**  $\alpha_{it_6} = 203 \cdot deg$   $\psi_{it_6} = -24.7 \cdot deg$

**Prosjecni hidrostatski tlak na ravnini 1, 2 i 5 :**  $u1_6 = 0 \cdot kPa$   $u2_6 = 0 \cdot kPa$   $u5_6 = 0 \cdot kPa$

**Hidrostatska sila na ravninama 1 i 2 :**  $U1_6 = 0 \cdot kN$   $U2_6 = 0 \cdot kN$

**Hidrostatska sila u vlačnoj pukotini :**  $V_6 = 0 \cdot kN$

**Normalne sile na ravninama 1 i 2 :**  $N1_6 = -689.1 \cdot kN$   $N2_6 = 4216.6 \cdot kN$

**Totalna smicuca sila na rav. 1 i 2 :**  $S_6 = 1893.6 \cdot kN$

**Totalna smicuca otpornost na rav. 1 i 2 :**  $Q_6 = 3787.2 \cdot kN$

---

**Faktor sigurnosti (kontrola) :**  $FS_6 = 2$

## Kombinacija 7 : Vlastita težina klina + Hidrostatski tlak + Potres + Sila sidra

**Ulazni podaci** \_\_\_\_\_ Klin = 1720.1

**Hidrostatski tlak (1/0) ? :** wU<sub>7</sub> = 1

**Potrebna sila sidra :** Tsid<sub>7</sub> - Proracun !

**Sila potresa :** ks<sub>7</sub> = 0.1

**Traženi faktor sigurnosti :** FS<sub>7</sub> = 2

### **Rezultati proracuna** \_\_\_\_\_

**Potrebna sila sidra za (FS) :** Tsid<sub>7</sub> = 2083.5 · kN

**Najpovoljniji smjer sidra :** αit<sub>7</sub> = 203 · deg      ψit<sub>7</sub> = -24.7 · deg

**Prosječni hidrostatski tlak na ravnini 1, 2 i 5 :** u1<sub>7</sub> = 0 · kPa      u2<sub>7</sub> = 0 · kPa      u5<sub>7</sub> = 0 · kPa

**Hidrostatska sila na ravninama 1 i 2 :** U<sub>1</sub><sub>7</sub> = 0 · kN      U<sub>2</sub><sub>7</sub> = 0 · kN

**Hidrostatska sila u vlačnoj pukotini :** V<sub>7</sub> = 66.2 · kN

**Normalna sila na ravnini 1 :** N<sub>1</sub><sub>7</sub> = -1600.7 · kN

**Normalna sila na ravnini 2 :** N<sub>2</sub><sub>7</sub> = 3773.4 · kN

**Totalna smicuca sila na rav. 1 i 2 :** S<sub>7</sub> = 1518.1 · kN

**Totalna smicuca otpornost na rav. 1 i 2 :** Q<sub>7</sub> = 3036.2 · kN

**Faktor sigurnosti (kontrola) :** Fs<sub>7</sub> = 2

### **Pregled faktora sigurnosti po kombinacijama opterecenja**

**Kombinacija 1 :** Tsid<sub>1</sub> = 0 · kN      Fs<sub>1</sub> = 1.18      **Vlastita težina klina**

**Kombinacija 2 :** Tsid<sub>2</sub> = 0 · kN      Fs<sub>2</sub> = 0.9      **Vlastita težina klina + Hidrostatski tlak**

**Kombinacija 3 :** Tsid<sub>3</sub> = 0 · kN      Fs<sub>3</sub> = 0.91      **Vlastita težina klina + Potres**

**Kombinacija 4 :** Tsid<sub>4</sub> = 0 · kN      Fs<sub>4</sub> = 0.74      **Vlastita težina klina + Hidrostatski tlak + Potres**

**Kombinacija 5 :** Fs<sub>5</sub> = 1.5      Tsid<sub>5</sub> = 1138.4 · kN      **Vlastita težina klina + Hidrostatski tlak + Sila sidra**

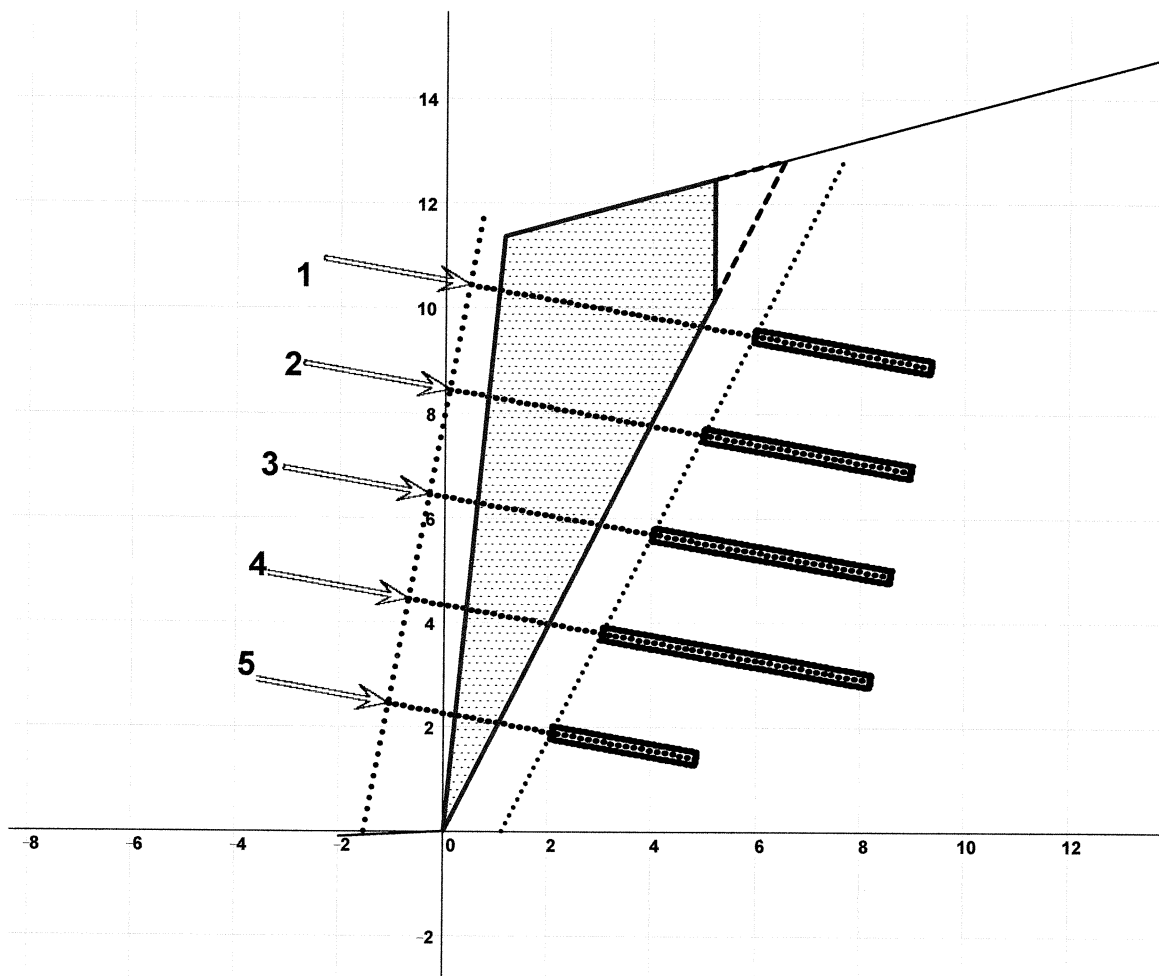
**Kombinacija 6 :** Fs<sub>6</sub> = 2      Tsid<sub>6</sub> = 1914.4 · kN      **Vlastita težina klina + Potres + Sila sidra**

**Kombinacija 7 :** Fs<sub>7</sub> = 2      Tsid<sub>7</sub> = 2083.5 · kN      **Vlastita težina klina + Hidrostatski tlak+ Potres + Sila sidra**

## Dimenzioniranje štapnih sidra

Klin = 1720.1

Profil pokosa i kline, raspored sidara, MJ = 1.4 · m



### Profil pokosa

Nagib pokosa :  $\gamma_P = 84.3 \cdot \text{deg}$

Nagib površine terena :  $\alpha_{ter} = 15 \cdot \text{deg}$

Kut kliznog pravca :  $\gamma_D = 63 \cdot \text{deg}$

### Sidra

Vertikalni i horizontalni razmak sidara :  $vsid = 2 \cdot \text{m}$      $hsid = 2 \cdot \text{m}$

Broj sidara koja pokrivaju na klin :  $brSk = 30$

Broj sidara po visini pokosa :  $Bvsid = 5$

Kut sidra :  $\beta_{sid} = 10 \cdot \text{deg}$

Udaljenost pocetka sidrišne dionice od kliznog pravca :  $\xi_1 = 1 \cdot \text{m}$

Visinske kote sidara na profilu pokosa :  $y_{Sid}^T = ( 10.44 \ 8.44 \ 6.44 \ 4.44 \ 2.44 ) \cdot \text{m}$

Hvatište sidra na površini pokosa (1) ili na površini zida :  $Hvas = 2$

### **Stijenska masa sidrišne dionice**

Klin = 1720.1

$$\text{Prostorna težina stijenske mase : } \gamma_r = 25 \cdot \text{kN} \cdot \text{m}^{-3}$$

$$\text{Prosječna visina nadsloja iznad sidrišne dionice : } H_n = 0.5 \cdot H_1 \quad H_n = 5.68 \cdot \text{m}$$

$$\text{Prosječno normalno naprezanje u stijenskoj masi uz sidrišnu dionicu : } \sigma_{nr} = \gamma_r \cdot H_n \quad \sigma_{nr} = 142.1 \cdot \text{kPa}$$

$$\text{Litološka konstanta intaktne stijene : } m_i = 7$$

$$\text{Geološki index cvrstoca : } GSI = 30$$

$$\text{Faktor poremećenosti stijenske mase : } D = 0.1$$

$$\text{Jednoosna tlacna cvrstoca intaktnog uzorka : } \sigma_{ci} = 60 \cdot \text{MPa}$$

### **Hoek - Brown parametri stijenske mase**

$$\text{Jednoosna tlacna cvrstoca stijenske mase : } \sigma_c = 0.48 \cdot \text{MPa}$$

$$\text{Vlačna cvrstoca stijenske mase : } \sigma_t = -0.02 \cdot \text{MPa}$$

$$\text{Globalna tlacna cvrstoca stijenske mase : } \sigma_{cm} = 4.02 \cdot \text{MPa}$$

$$\text{Smicuca cvrstoca stijenske mase : } \tau_{rr} = 0.338 \cdot \text{MPa}$$

### **Naponi prijanjanja celik - beton i duljine sidrenja (EN 1992-1-1: 2004)**

$$\text{Sila u sidru : } P_{ro}^T = ( 0 \ 0 \ 0 \ 0 \ 37.9 \ 63.8 \ 69.4 ) \cdot \text{kN}$$

$$\text{Promjer armature : } \phi_s = 32 \cdot \text{mm}$$

$$\text{Faktor sigurnosti za opterećenje : } \gamma_u = 1.5$$

$$\text{Razred tlačne čvrstoće betona : } C = 20.25$$

$$\text{Starost injekcijske smjese : } t_{da} = 10 \cdot \text{dan}$$

$$\text{Koeficijent ovisan od vrste cementa : } s = 0.25$$

$$\text{Parcijalni koeficijent sigurnosti za beton : } \gamma_c = 1.5$$

$$\text{Proracunska vlačna cvrstoca betona : } f_{ctd} = 0.87 \cdot \text{MPa}$$

$$\text{Granicni napon prijanjanja : } f_{bd} = 1.37 \cdot \text{MPa} > \max(\tau_{ro}) = 0.3 \cdot \text{MPa}$$

$$\text{Proracunska duljina sidrenja : } l_{bd}^T = ( 0 \ 0 \ 0 \ 0 \ 0.41 \ 0.69 \ 0.75 ) \cdot \text{m}$$

$$< \min(L_{usd}) = 1 \cdot \text{m}$$

### **Odabir racunske smicuce cvrstoca**

$$\text{Smicuca cvrstoca stijenske mase (1) : } \tau_{r1} = \tau_{rr} \quad \tau_{r1} = 337.67 \cdot \text{kPa}$$

$$\text{Smicuca cvrstoca stijenske mase (2) : } \tau_{r2} = 0.1 \cdot \sigma_{cm} \quad \tau_{r2} = 402.06 \cdot \text{kPa}$$

$$\text{Proracunska vlačna cvrstoca injekcijske smjese : } f_{ctd} = 871.72 \cdot \text{kPa}$$

$$\text{Granicni napon prijanjanja : } f_{bd} = 1372.96 \cdot \text{kPa}$$

$$\text{Usvojena racunska smicuca cvrstoca : } \tau_r = \min((\tau_{r1} \ \tau_{r2} \ f_{ctd} \ f_{bd})) \quad \tau_r = 337.67 \cdot \text{kPa}$$

*Usvojeni tip sidra : IBO R32N  $\phi$  32/18.5 mm*

Klin = 1720.1

*Nosivost : 180 kN*

$F_{UL} = 280 \text{ kN}, F_{YL} = 230 \text{ kN}$ ,

*Vanjski promjer (profil) sidra :  $\phi s = 32 \cdot \text{mm}$*

*Promjer bušotine :  $\phi d = 51 \cdot \text{mm}$*

*Promjer racunskog valjka :  $\phi dr = 60 \cdot \text{mm}$*

*Odnos maksimalnog i prosjecnog smicuceg :  $\chi = 2$   
naprezanja na sidrišnoj dionici (trokutna raspodijela)*

*Usvojene duljine sidara (od vrha prema dnu) :  $L_{sus} = \begin{pmatrix} 1 & 2 & 3 & 4 & 5 \\ 9 & 9 & 9 & 9 & 6 \end{pmatrix} \cdot \text{m}$*

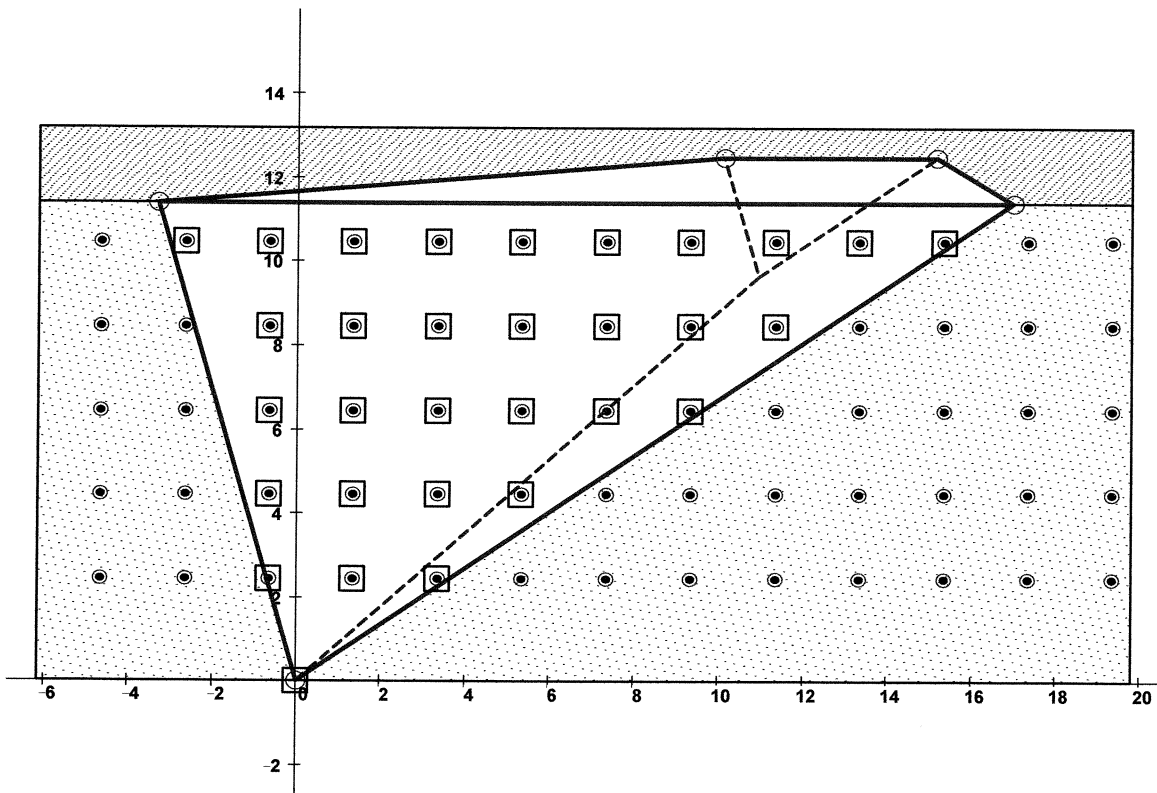
*Duljine sidrišnih dionica :  $L_{usd} = \begin{pmatrix} 1 & 2 & 3 & 4 & 5 \\ 3.43 & 4.03 & 4.62 & 5.21 & 2.81 \end{pmatrix} \cdot \text{m}$*

*Suma duljina sidrišnih dionica :  $\Sigma L_{usd} = 119.5 \cdot \text{m}$*

*Suma površina racunskih valjaka :  $A_{val} = \phi dr \cdot \pi \cdot \Sigma L_{usd} \quad A_{val} = 225229.6 \cdot \text{cm}^2$*

**Pogled na pokos, raspored sidara,  $MJ = 1.4 \cdot \text{m}$**

*Visina pokosa :  $H_1 = 11.37 \cdot \text{m}$*



### Rezultati proračuna sidara

Klin = 1720.1

*Ukupna sila sidara po komb. opt. :  $T_{sid}^T = (0 \ 0 \ 0 \ 0 \ 1138.4 \ 1914.4 \ 2083.5) \cdot kN$*

*Faktor sigurnosti klina na klizanje po komb. opt. :  $F_s^T = (1.18 \ 0.9 \ 0.91 \ 0.74 \ 1.5 \ 2 \ 2)$*

*Nosivost usvojenih štapnih sidra :  $P_{nos} = A_{val} \cdot \tau_r$*

$$P_{nos} = 7605.3 \cdot kN > \max(T_{sid}) = 2083.5 \cdot kN$$

*Prosječna sila po sidru po komb. opt. :  $\bar{P}_{kom} = T_{sid_{kom}} \cdot b \cdot S_k^{-1}$*

$$\bar{P}_{Pro}^T = (0 \ 0 \ 0 \ 0 \ 37.9 \ 63.8 \ 69.4) \cdot kN < 180 \ kN$$

*Odgovarajuća max. smičuća naprezanja :  $\tau_{Pro_{kom,sid}} = \bar{P}_{kom} \cdot (\phi \cdot d \cdot \pi \cdot L \cdot s_d \cdot s_{sid})^{-1} \cdot \chi$*   
*sidrišnih dionica po komb. opt.*

#### Kombinacije opterecenja

1 2 3 4 5 6 7

$$\tau_{Pro}^T = \begin{bmatrix} 0 & 0 & 0 & 0 & 117.3 & 197.3 & 214.7 \\ 0 & 0 & 0 & 0 & 100 & 168.2 & 183 \\ 0 & 0 & 0 & 0 & 87.2 & 146.6 & 159.5 \\ 0 & 0 & 0 & 0 & 77.2 & 129.9 & 141.4 \\ 0 & 0 & 0 & 0 & 143.5 & 241.3 & 262.6 \end{bmatrix} \cdot kPa$$

<i>sidro 1</i>	
<i>sidro 2</i>	
<i>sidro 3</i>	$\max(\tau_{Pro}) = 262.6 \cdot kPa$
<i>sidro 4</i>	$\tau_r = 337.67 \cdot kPa$
<i>sidro 5</i>	

*Faktori sigurnosti sidra na smik :  $F_{si\_stv} = \frac{\tau_r}{\tau_{Pro}}$*   
*uzduž sidrisne dionice*

#### Kombinacije opterecenja

1 2 3 4 5 6 7

$$F_{si\_stv} = \begin{bmatrix} 999 & 999 & 999 & 999 & 2.85 & 1.7 & 1.57 \\ 999 & 999 & 999 & 999 & 3.34 & 2 & 1.83 \\ 999 & 999 & 999 & 999 & 3.83 & 2.29 & 2.1 \\ 999 & 999 & 999 & 999 & 4.32 & 2.58 & 2.37 \\ 999 & 999 & 999 & 999 & 2.34 & 1.39 & 1.28 \end{bmatrix}$$

<i>sidro 1</i>	
<i>sidro 2</i>	
<i>sidro 3</i>	$\min(F_{si\_stv}) = 1.28$
<i>sidro 4</i>	
<i>sidro 5</i>	